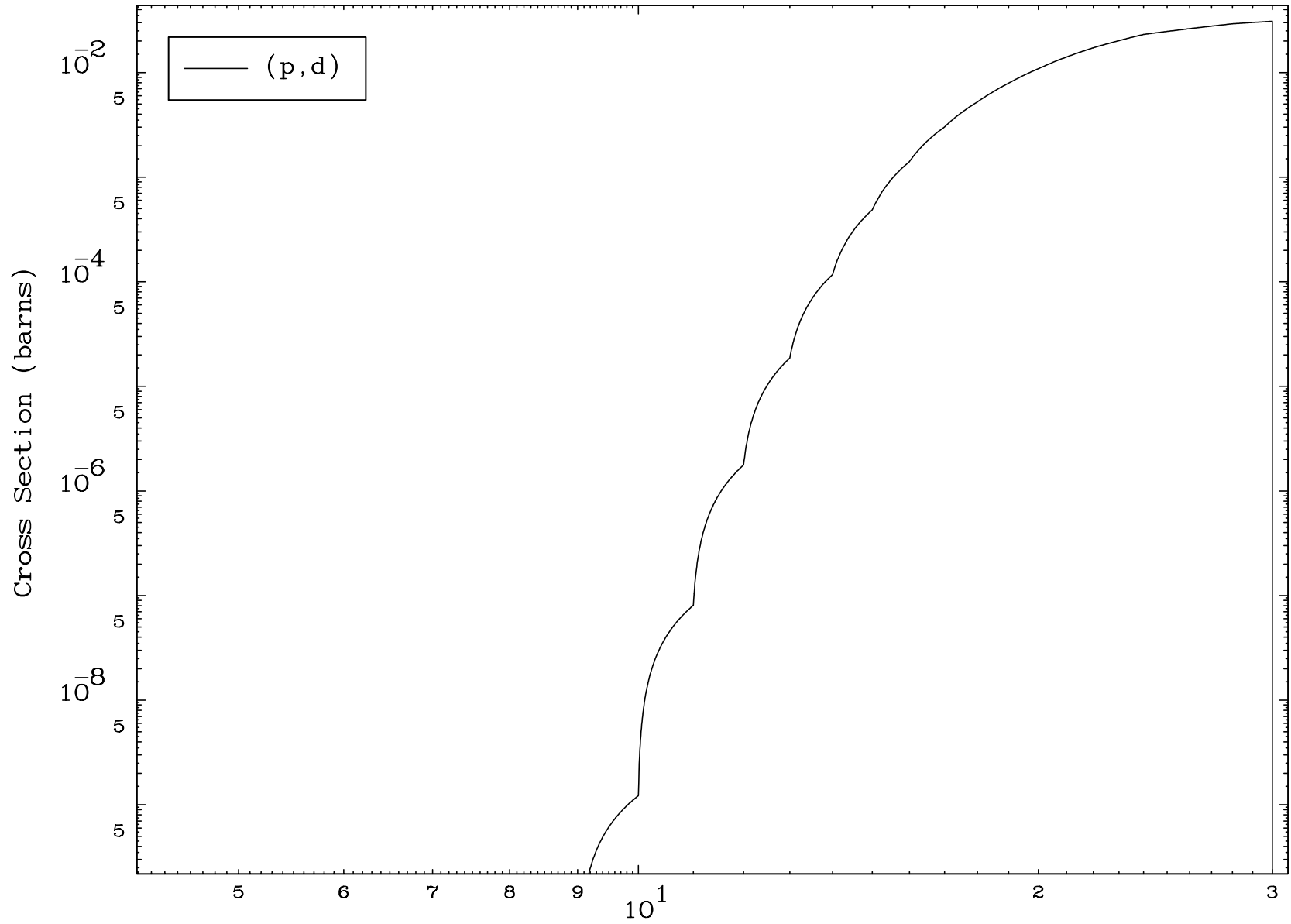


MAT 7928

(p,d) Levels
0 Kelvin Cross Sections

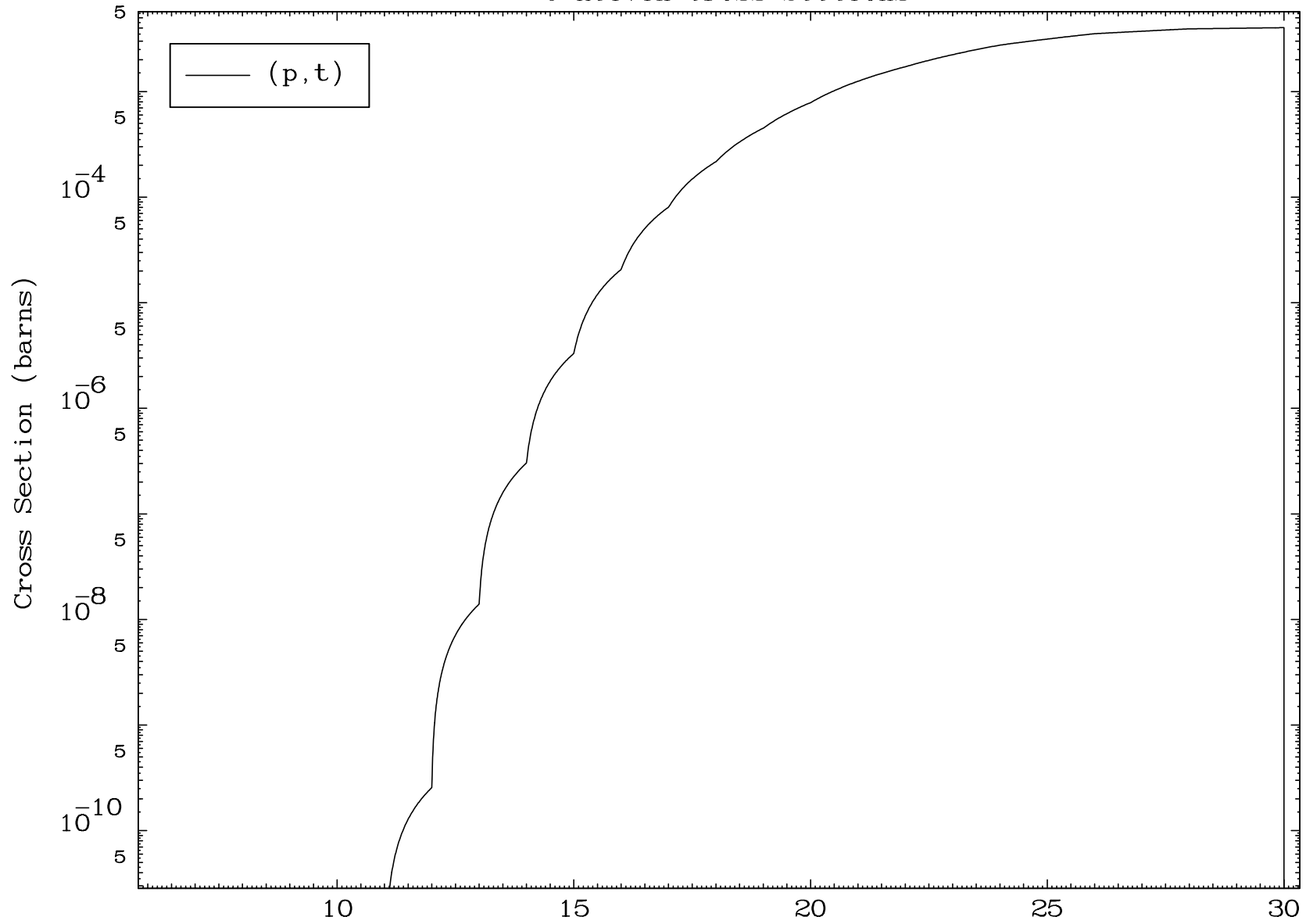
79-Au-198

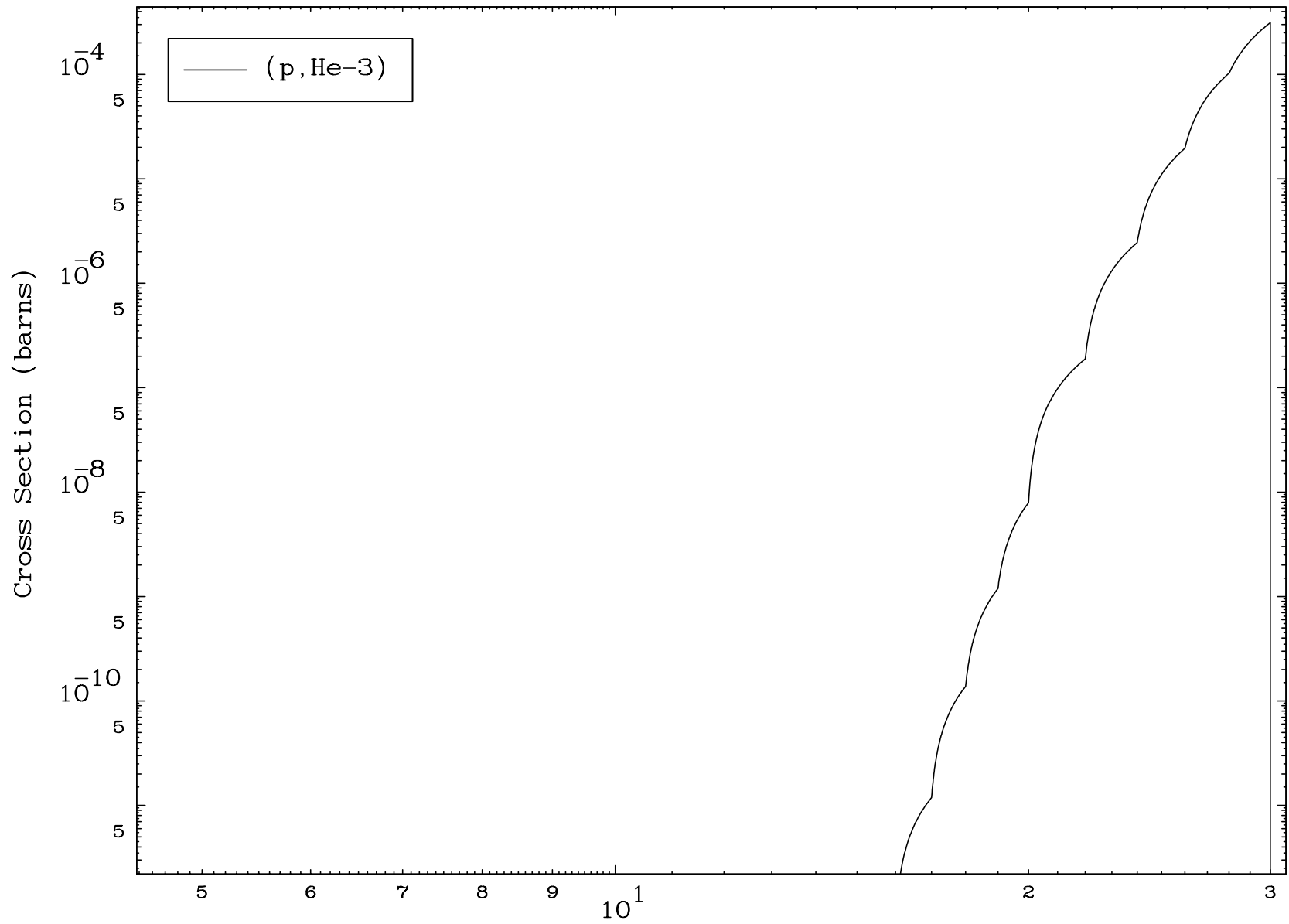


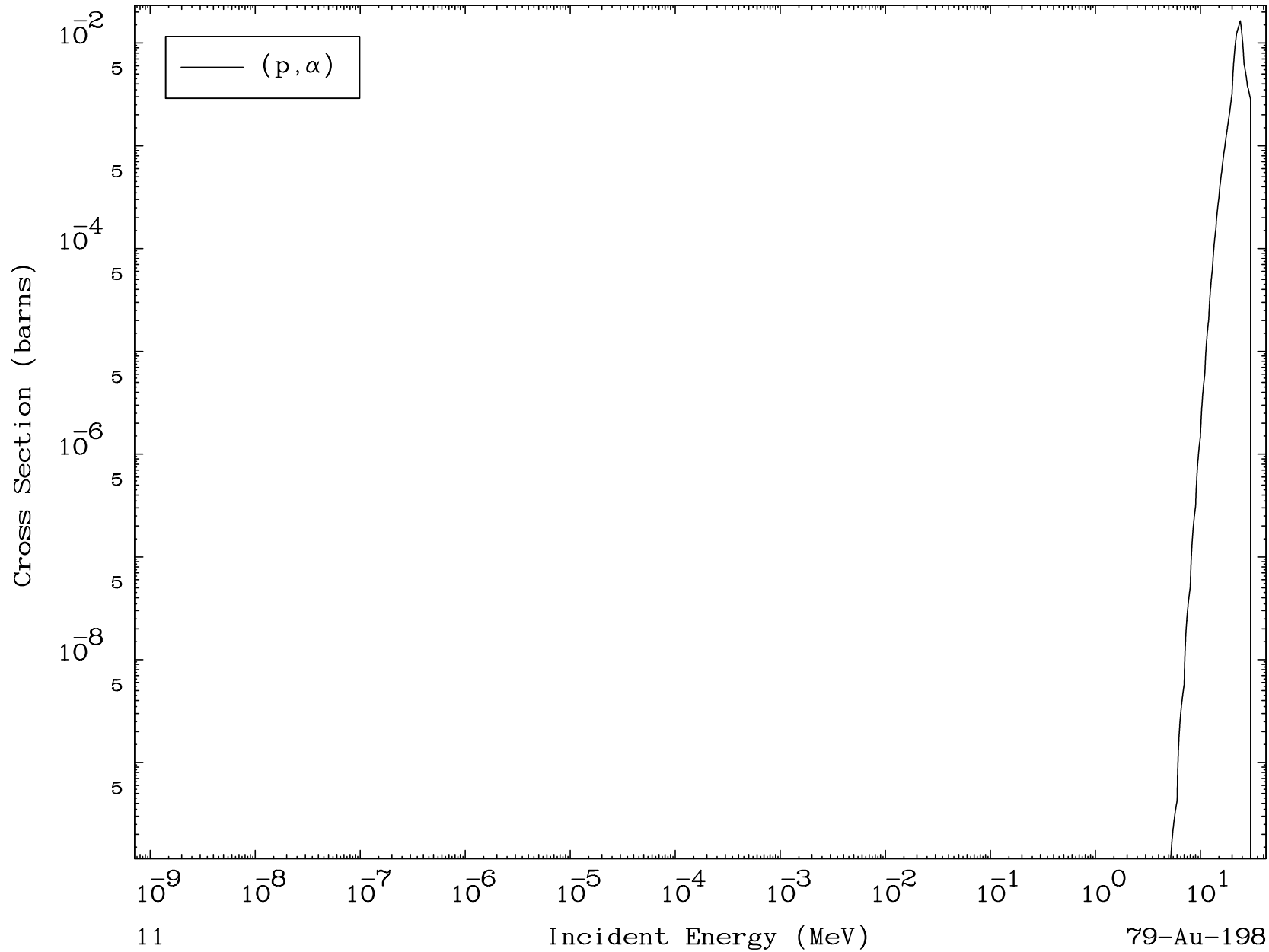
8

Incident Energy (MeV)

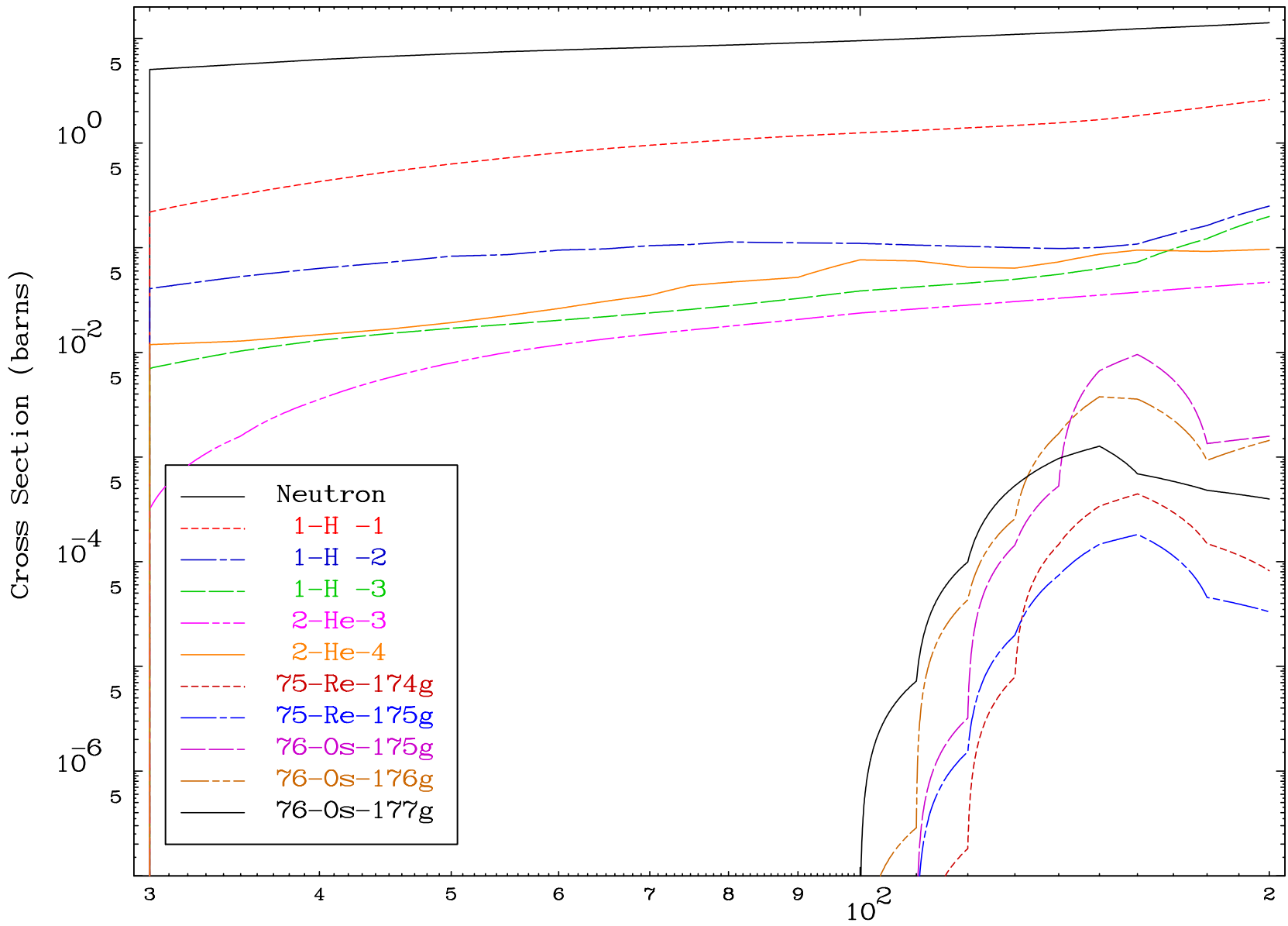
79-Au-198

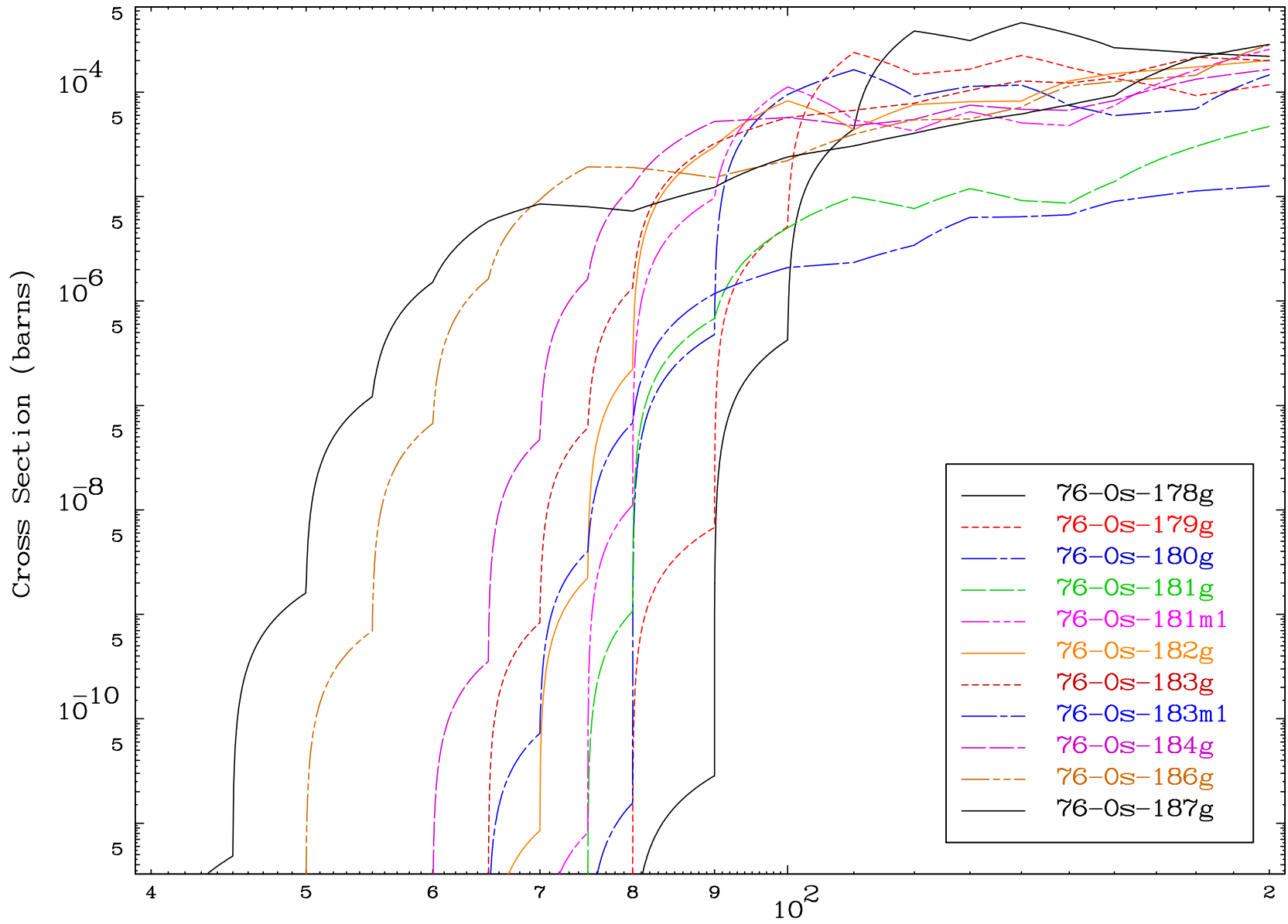




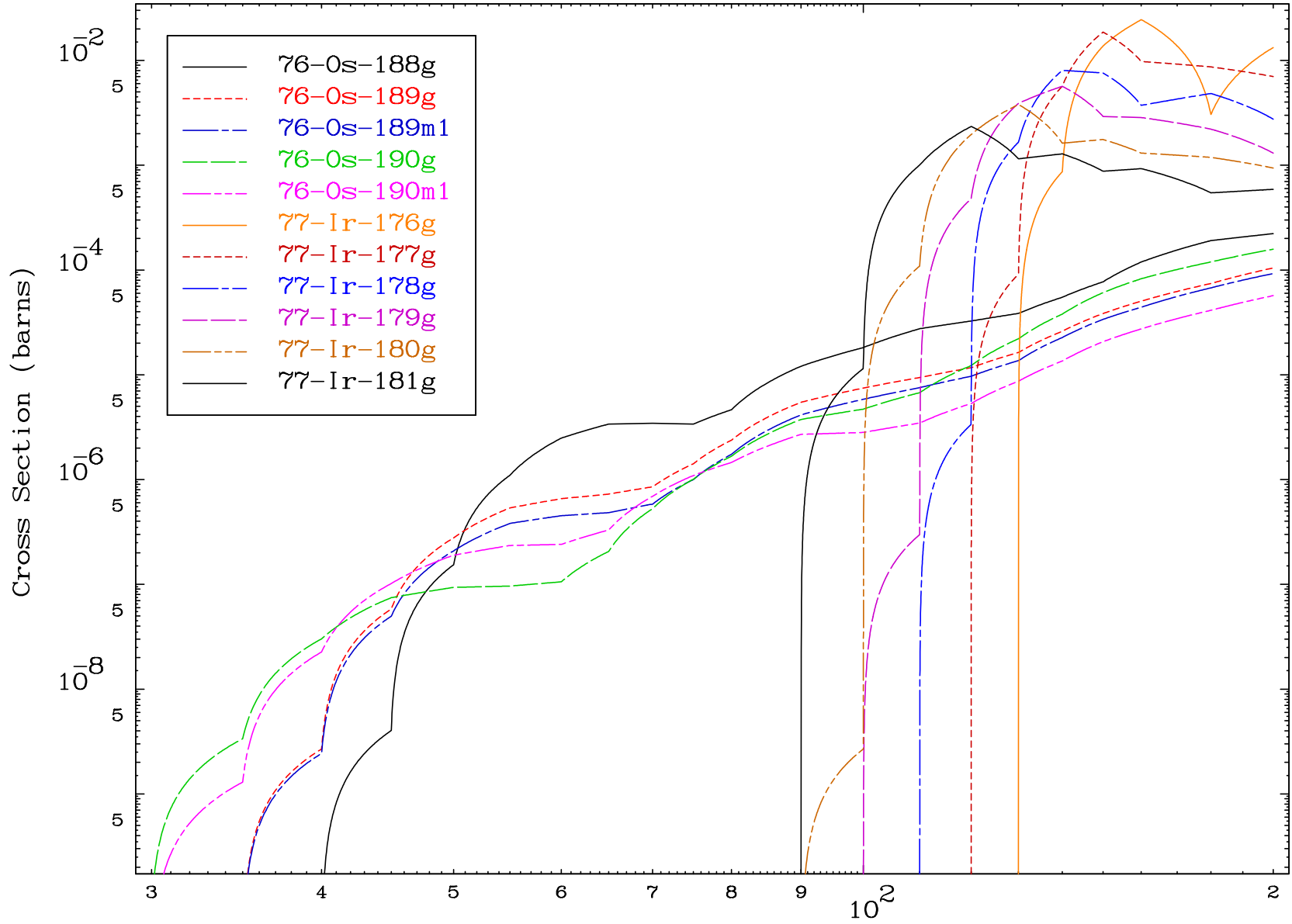


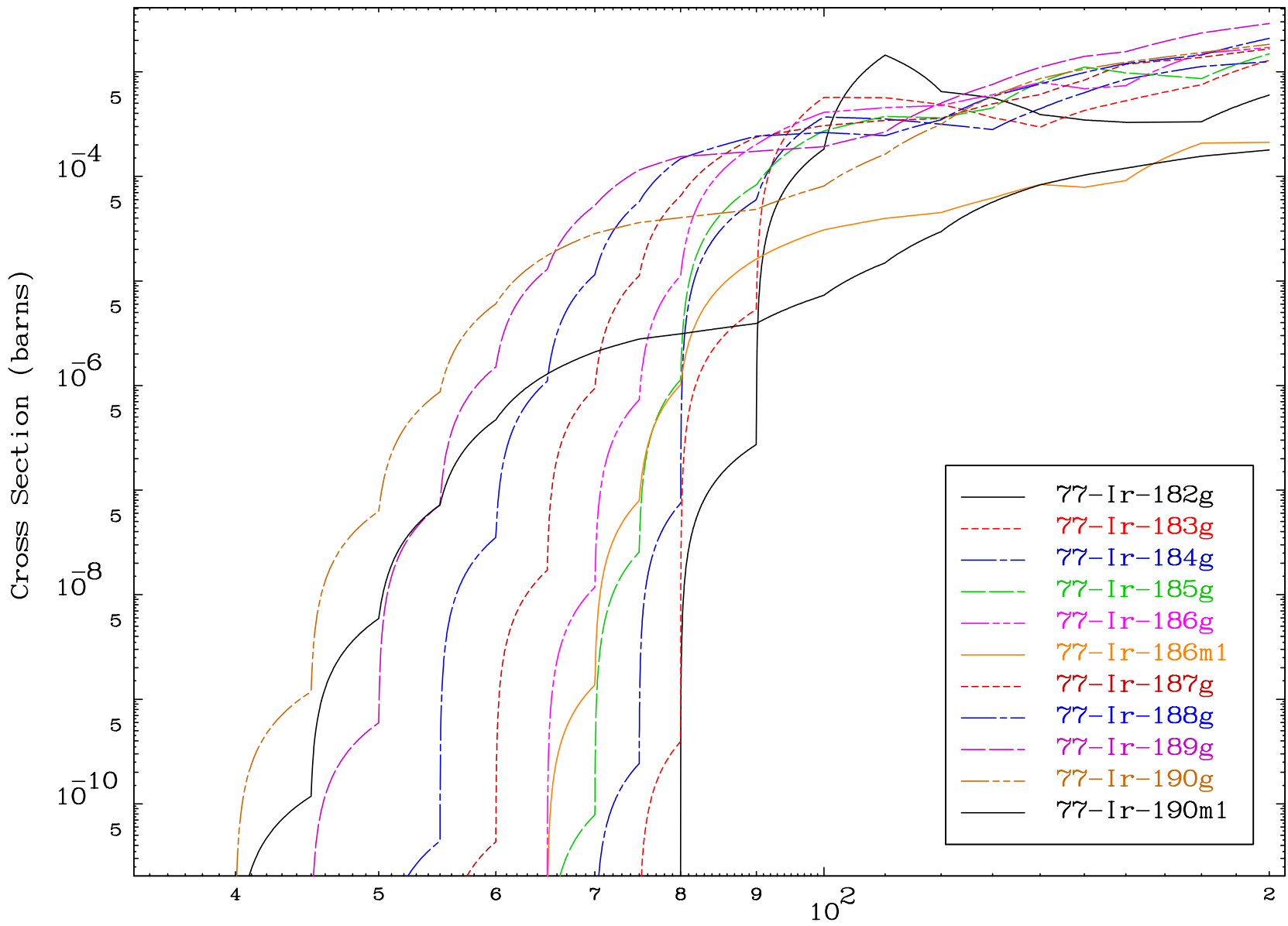
Radionuclide Production Cross Section

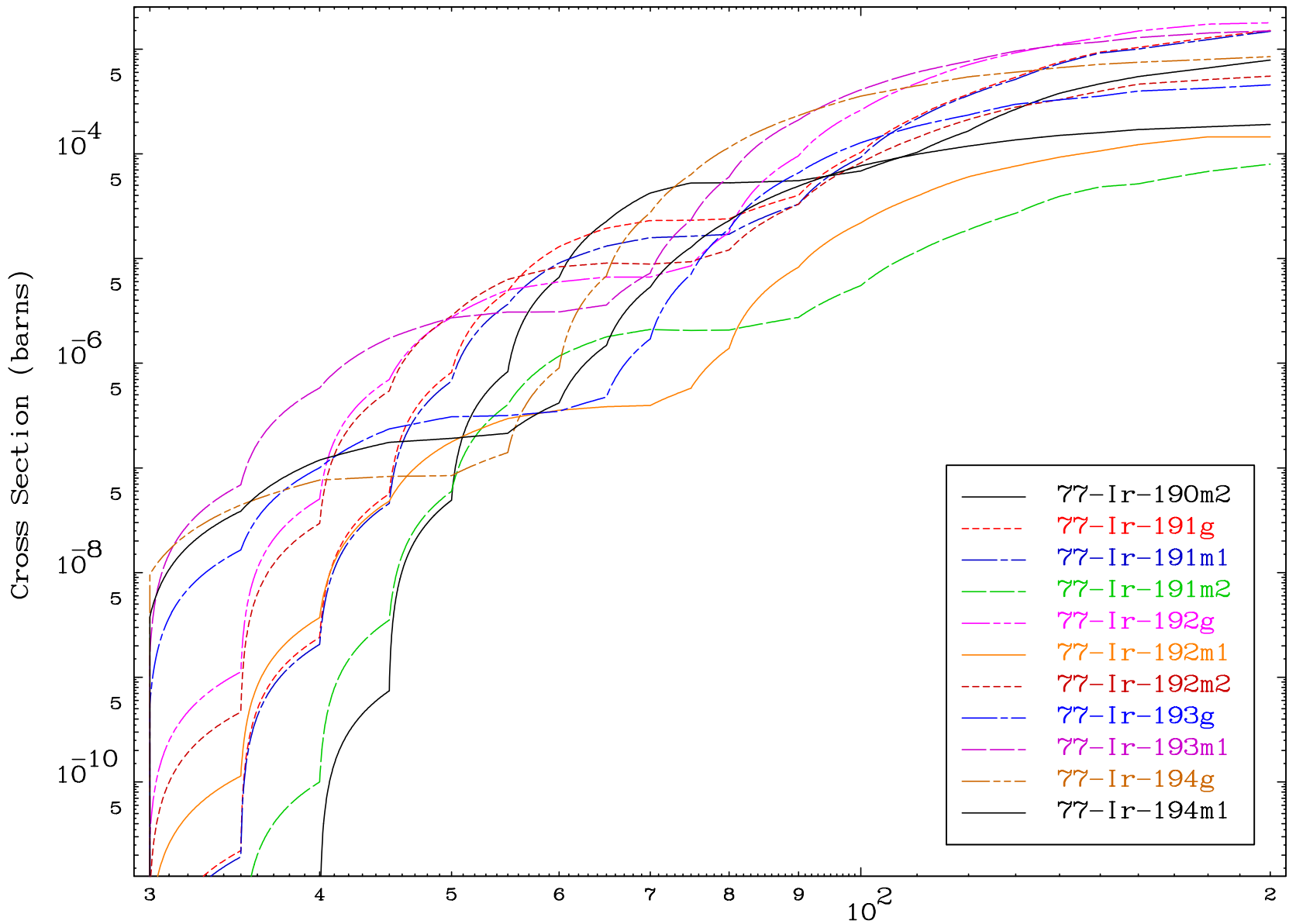




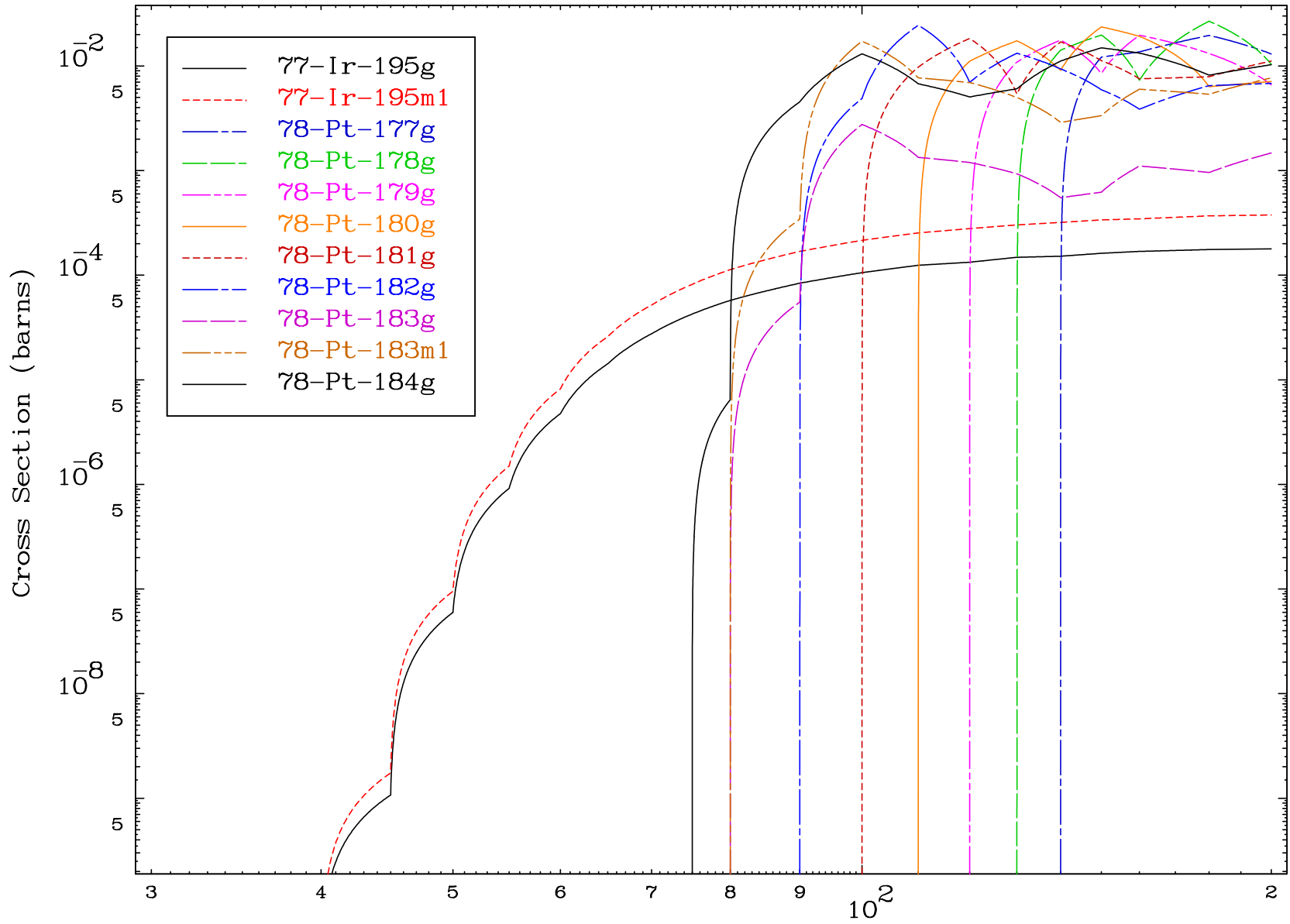
Radionuclide Production Cross Section

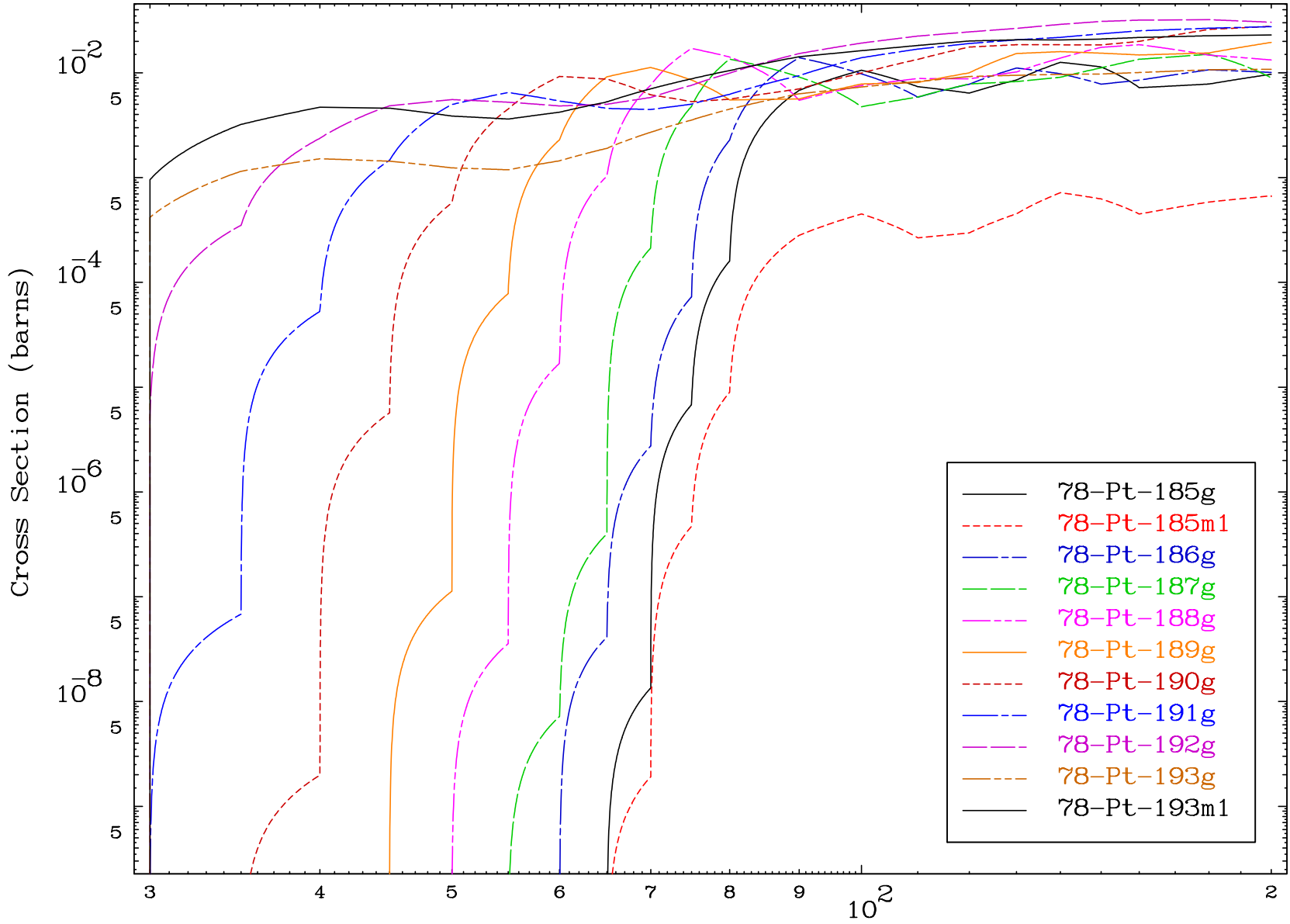






Radionuclide Production Cross Section



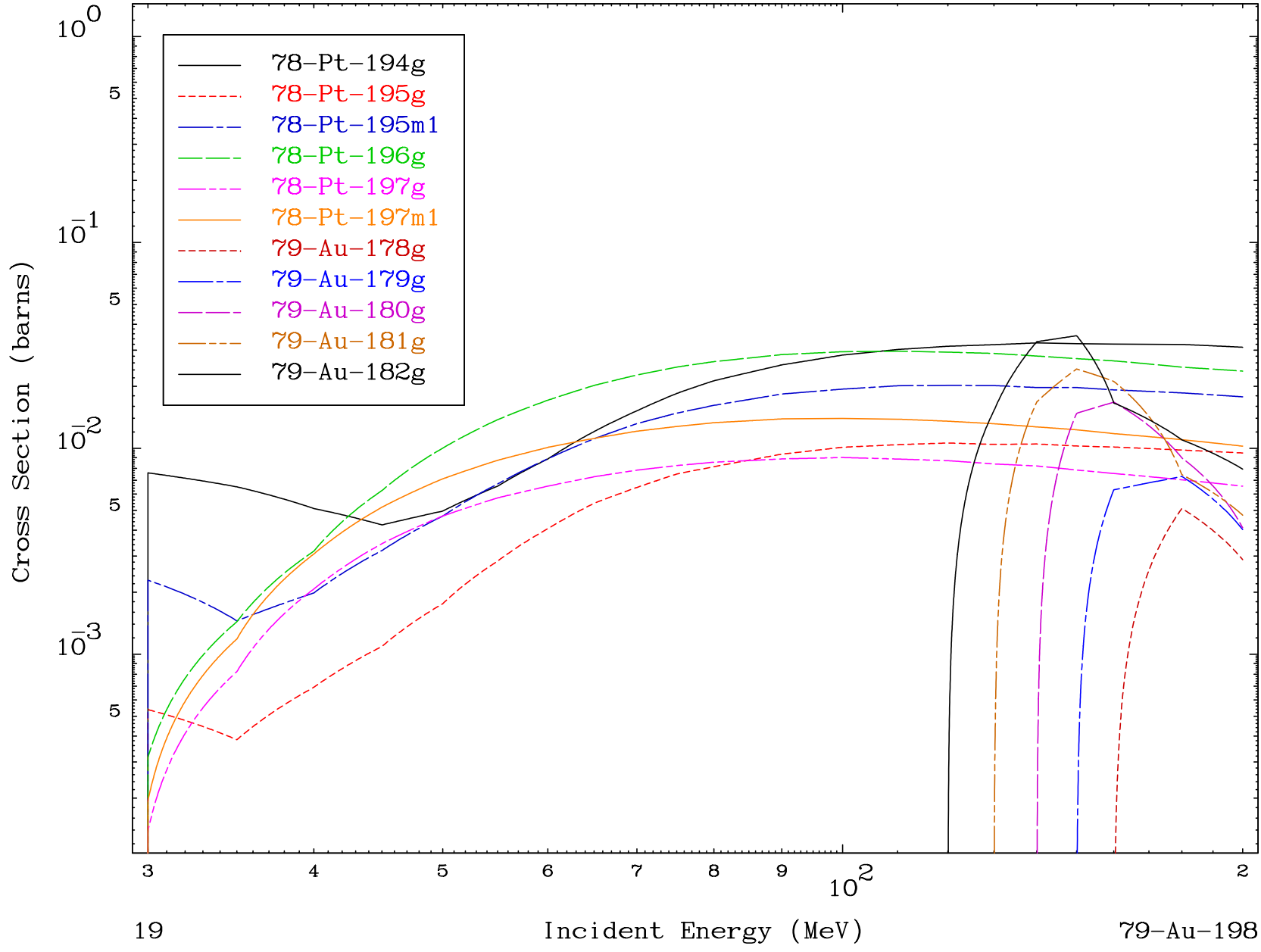


MAT 7928

(p,remainder)

79-Au-198

Radionuclide Production Cross Section

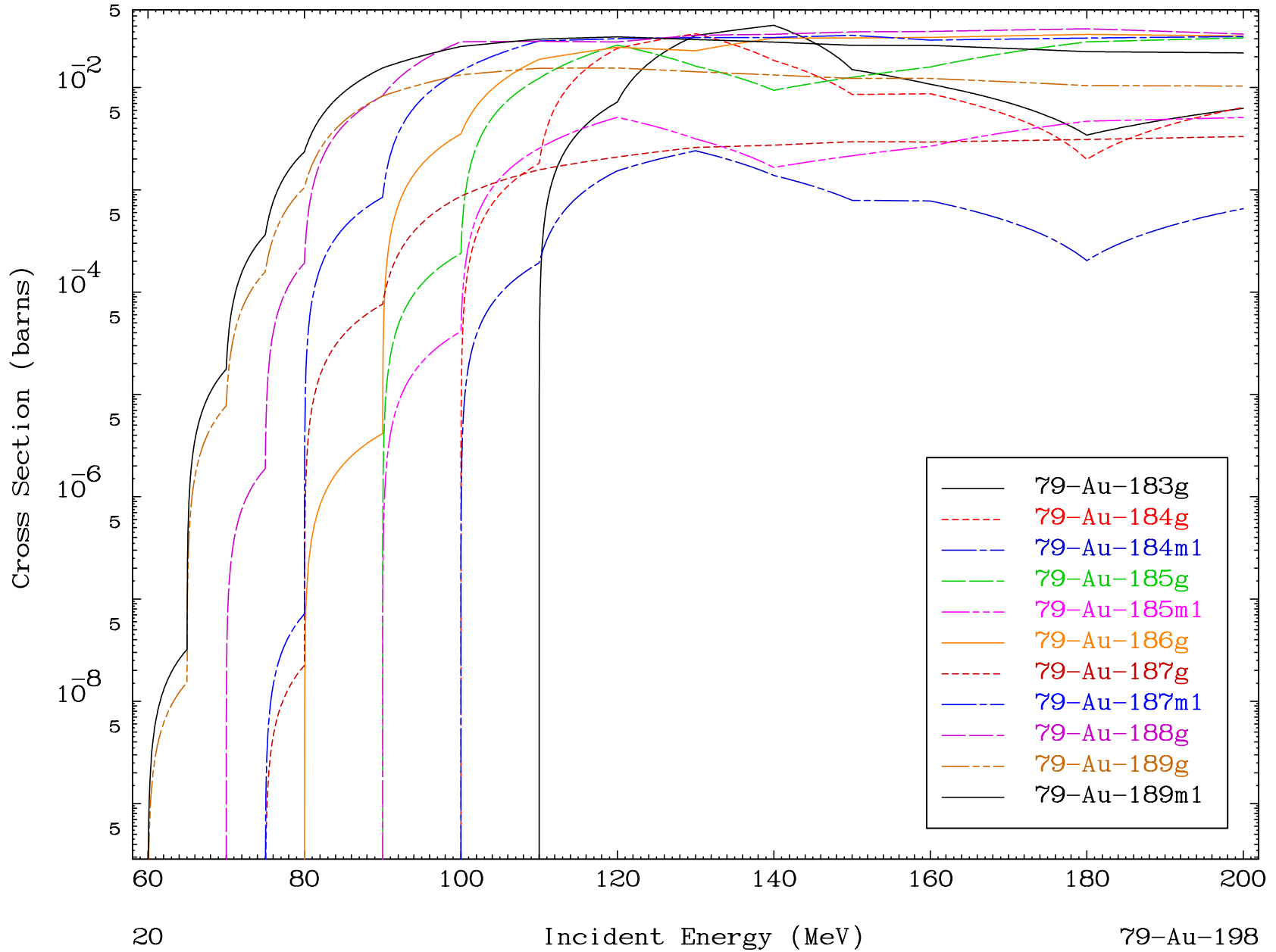


MAT 7928

(p,remainder)

79-Au-198

Radionuclide Production Cross Section

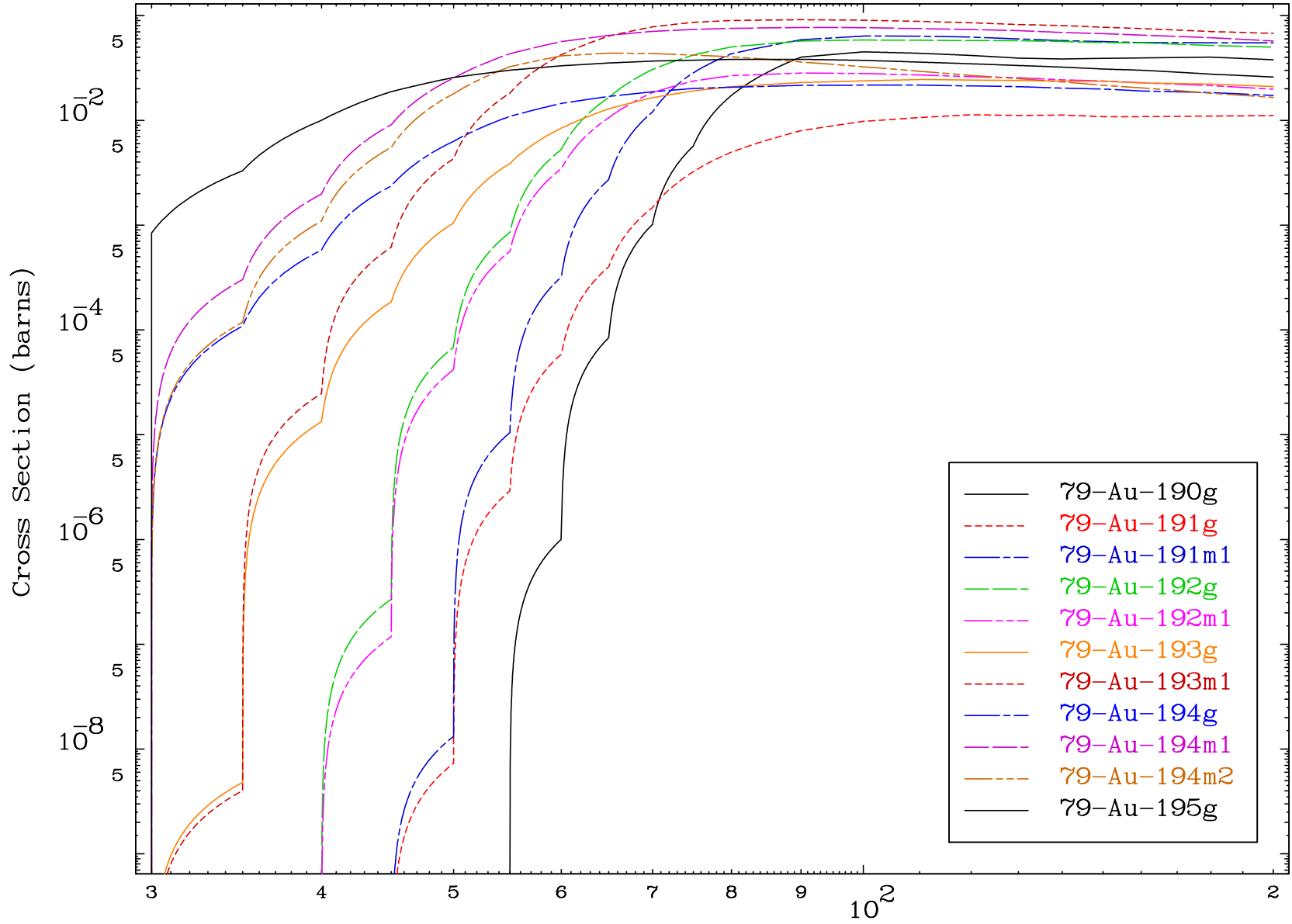


20

Incident Energy (MeV)

79-Au-198

Radionuclide Production Cross Section

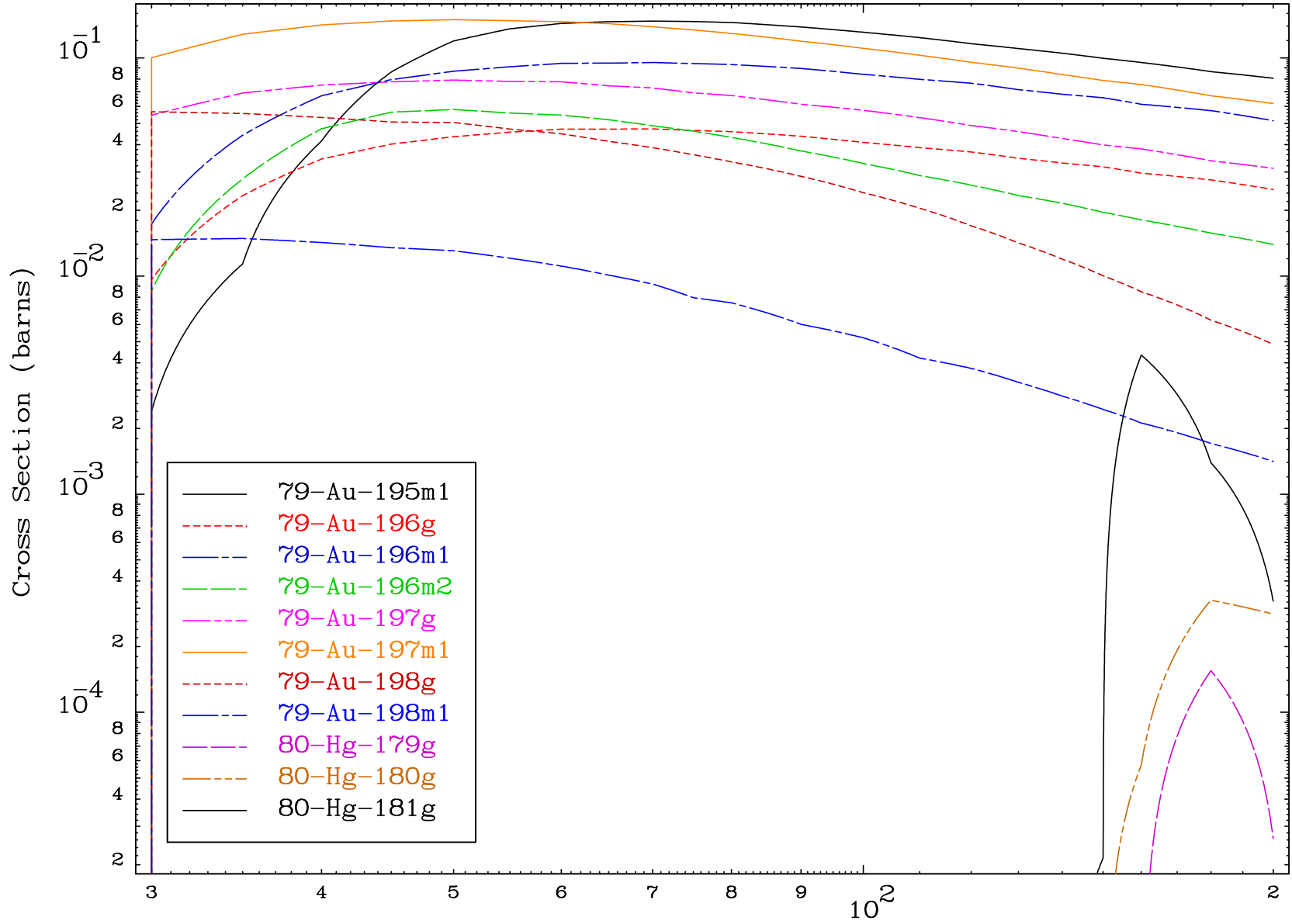


MAT 7928

(p,remainder)

79-Au-198

Radionuclide Production Cross Section



22

Incident Energy (MeV)

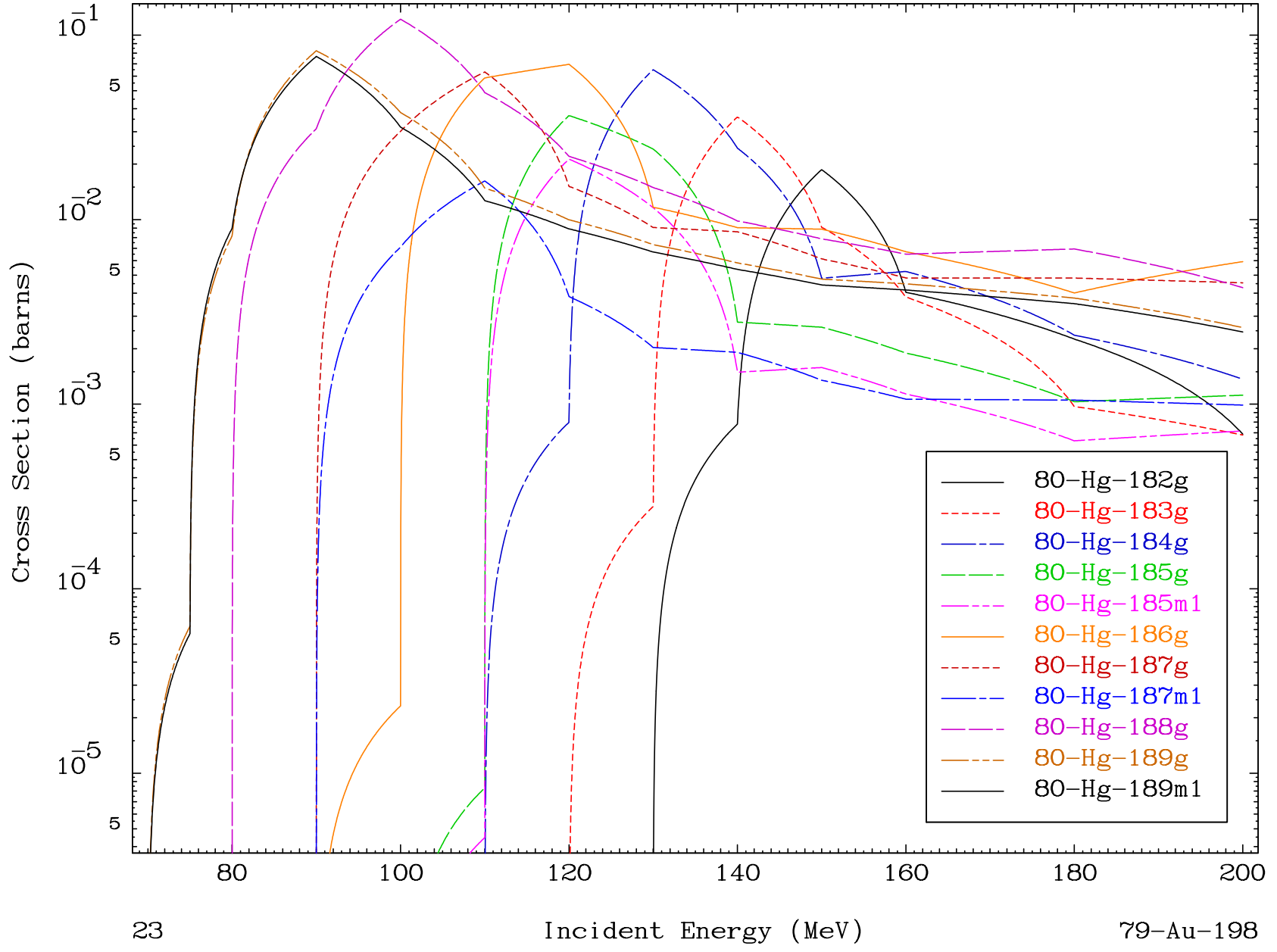
79-Au-198

MAT 7928

(p,remainder)

79-Au-198

Radionuclide Production Cross Section



23

Incident Energy (MeV)

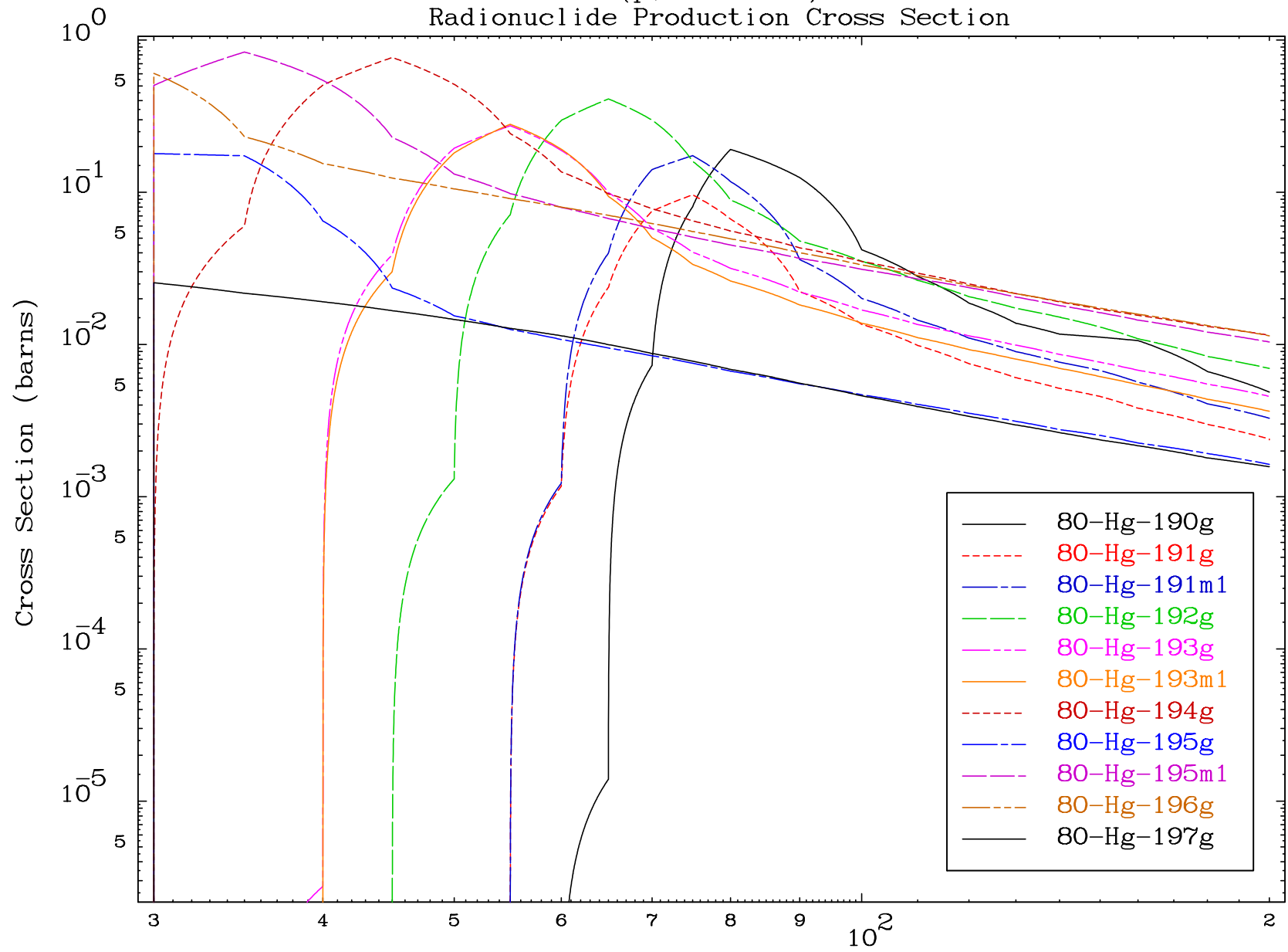
79-Au-198

MAT 7928

(p,remainder)

79-Au-198

Radionuclide Production Cross Section



24

Incident Energy (MeV)

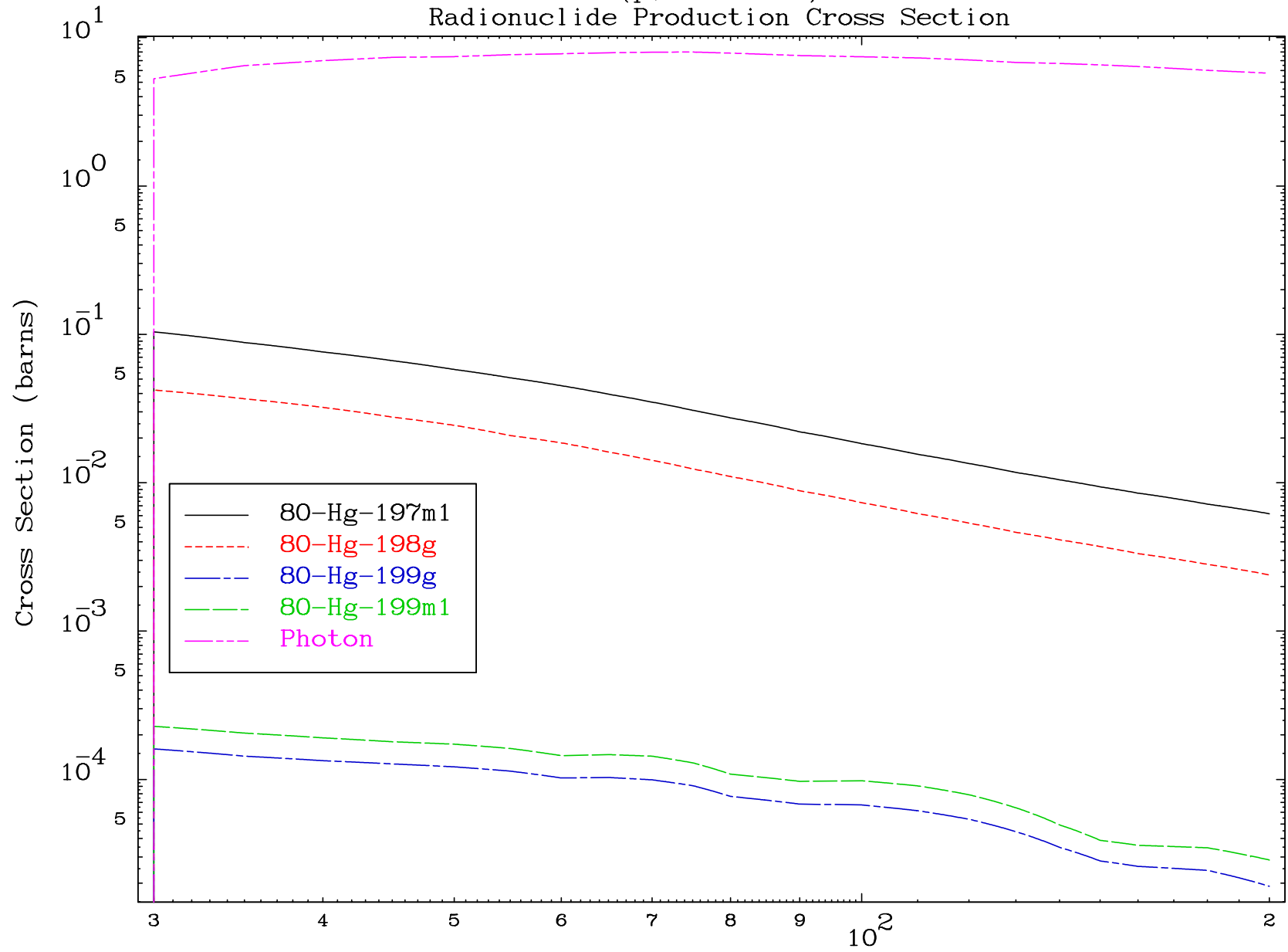
79-Au-198

MAT 7928

(p,remainder)

79-Au-198

Radionuclide Production Cross Section



25

Incident Energy (MeV)

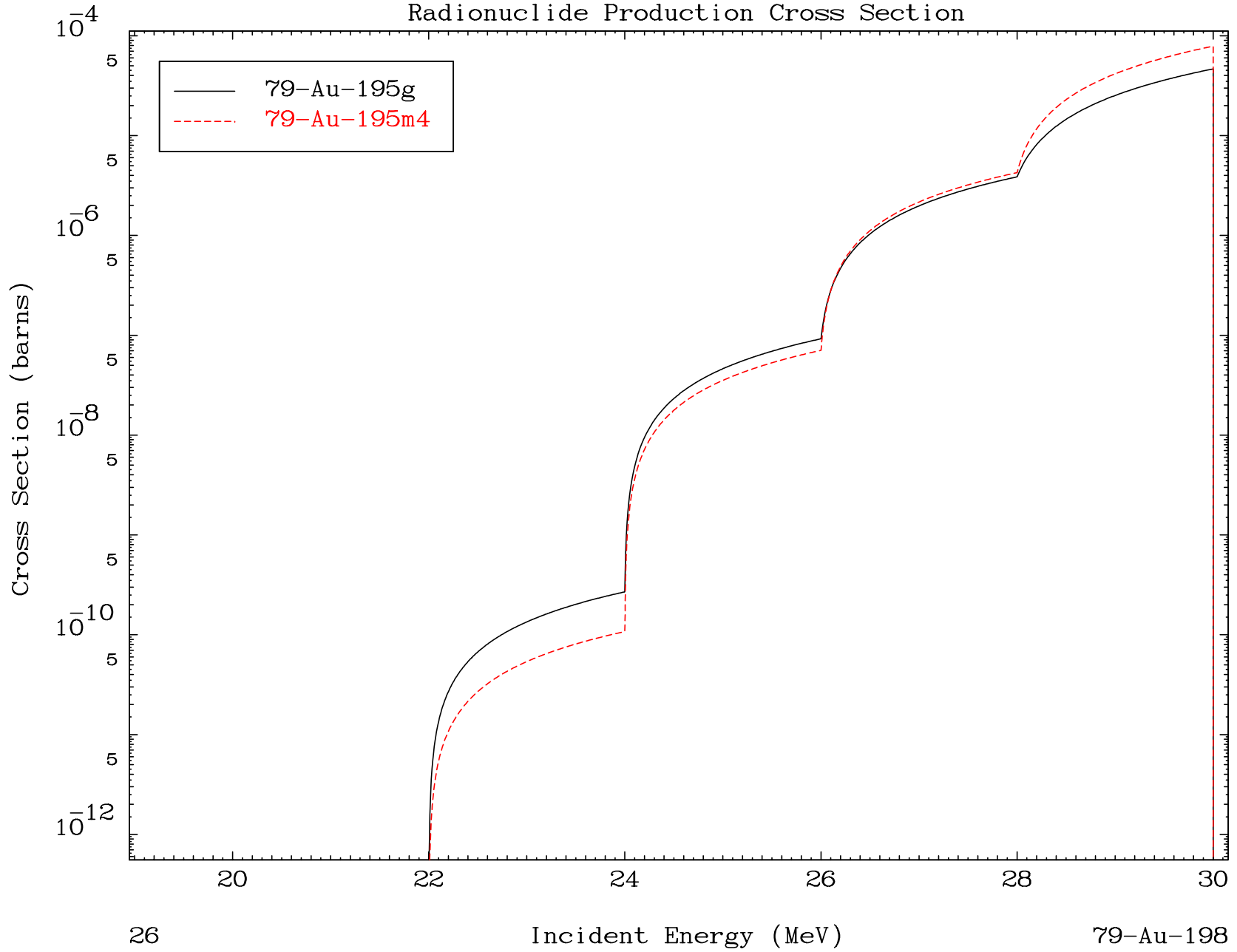
79-Au-198

MAT 7928

(p,2n) d

79-Au-198

Radionuclide Production Cross Section

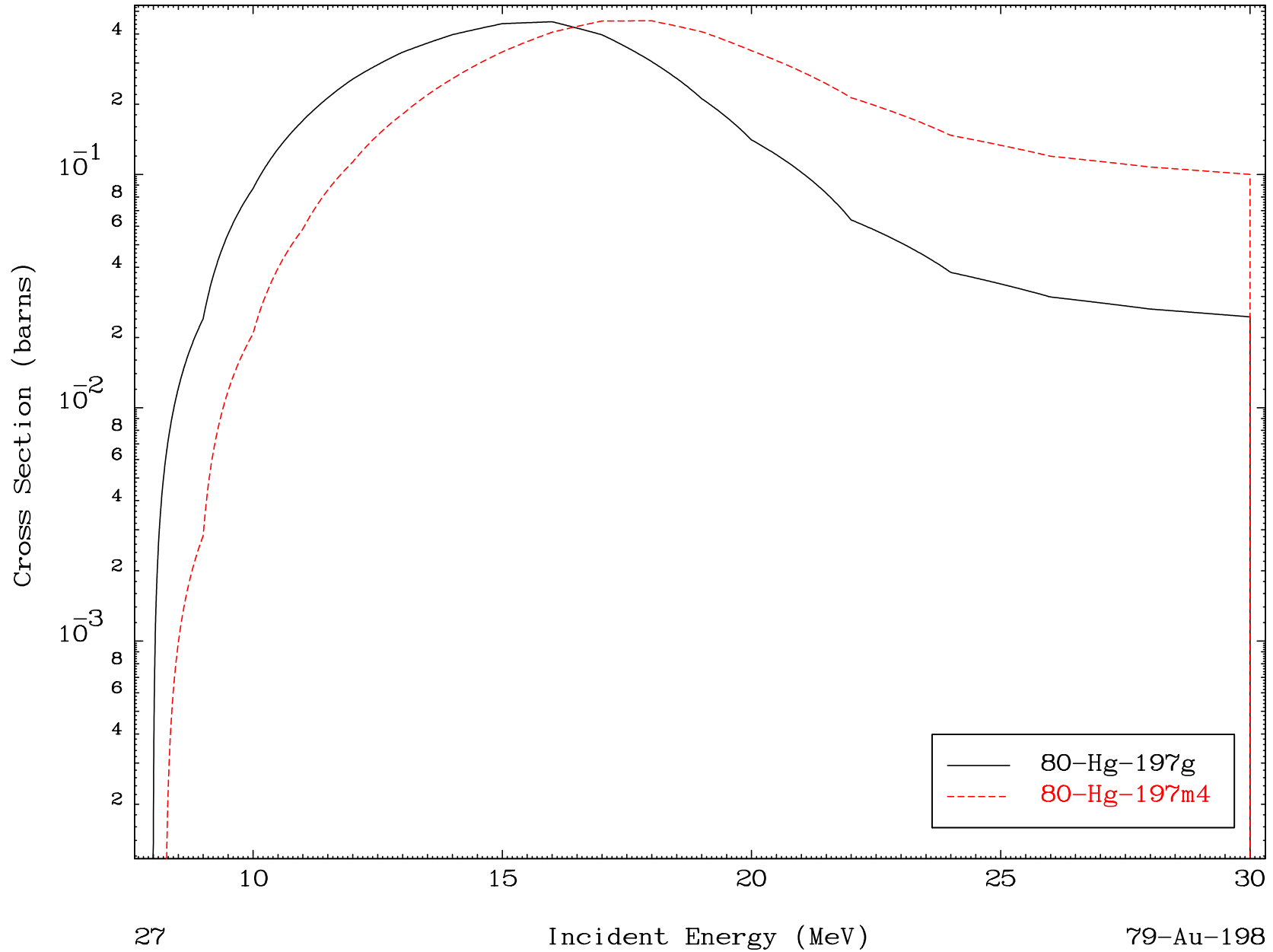


MAT 7928

(p,2n)

79-Au-198

Radionuclide Production Cross Section



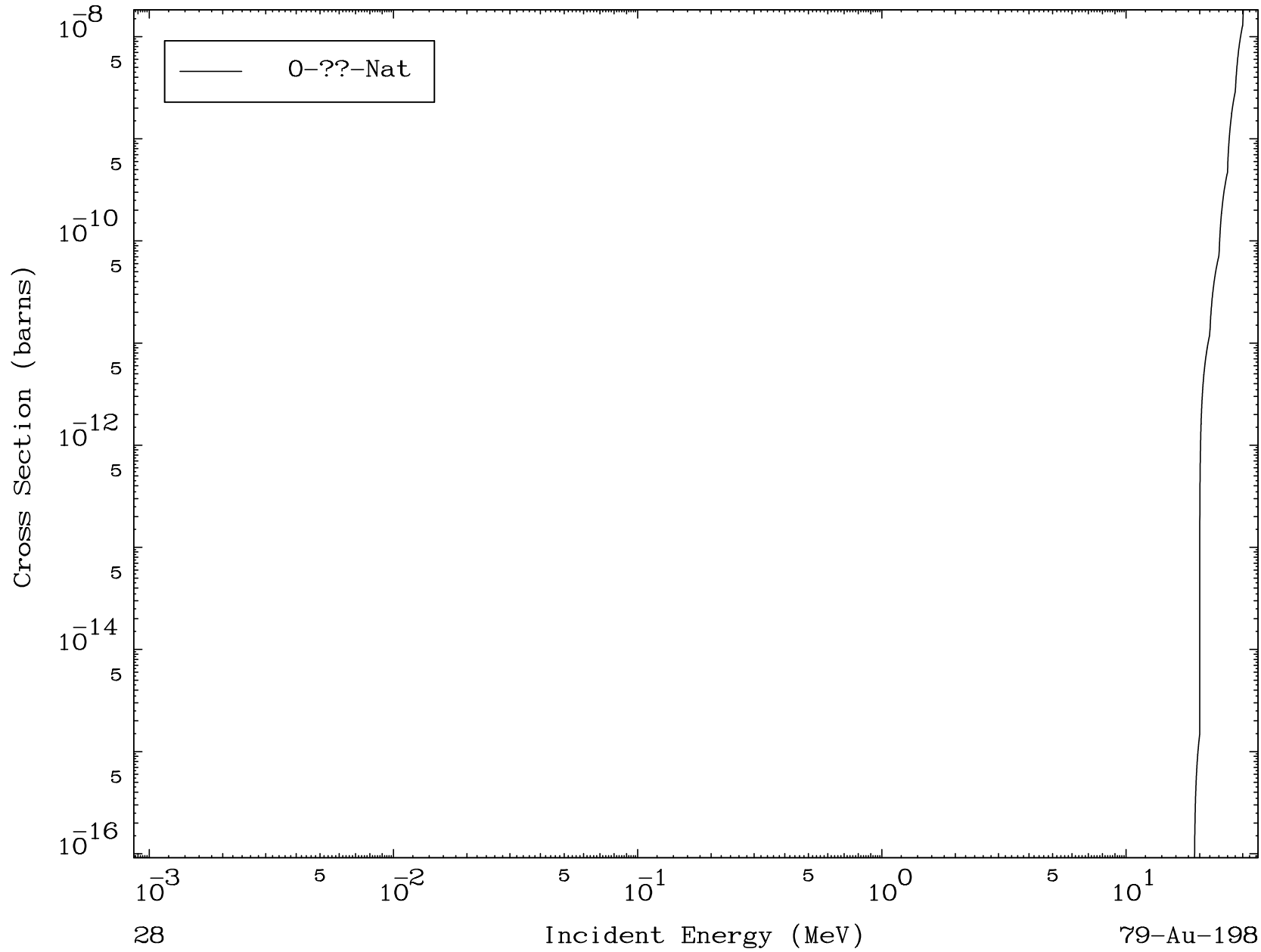
27

79-Au-198

MAT 7928

Proton Fission
Radionuclide Production Cross Section

79-Au-198

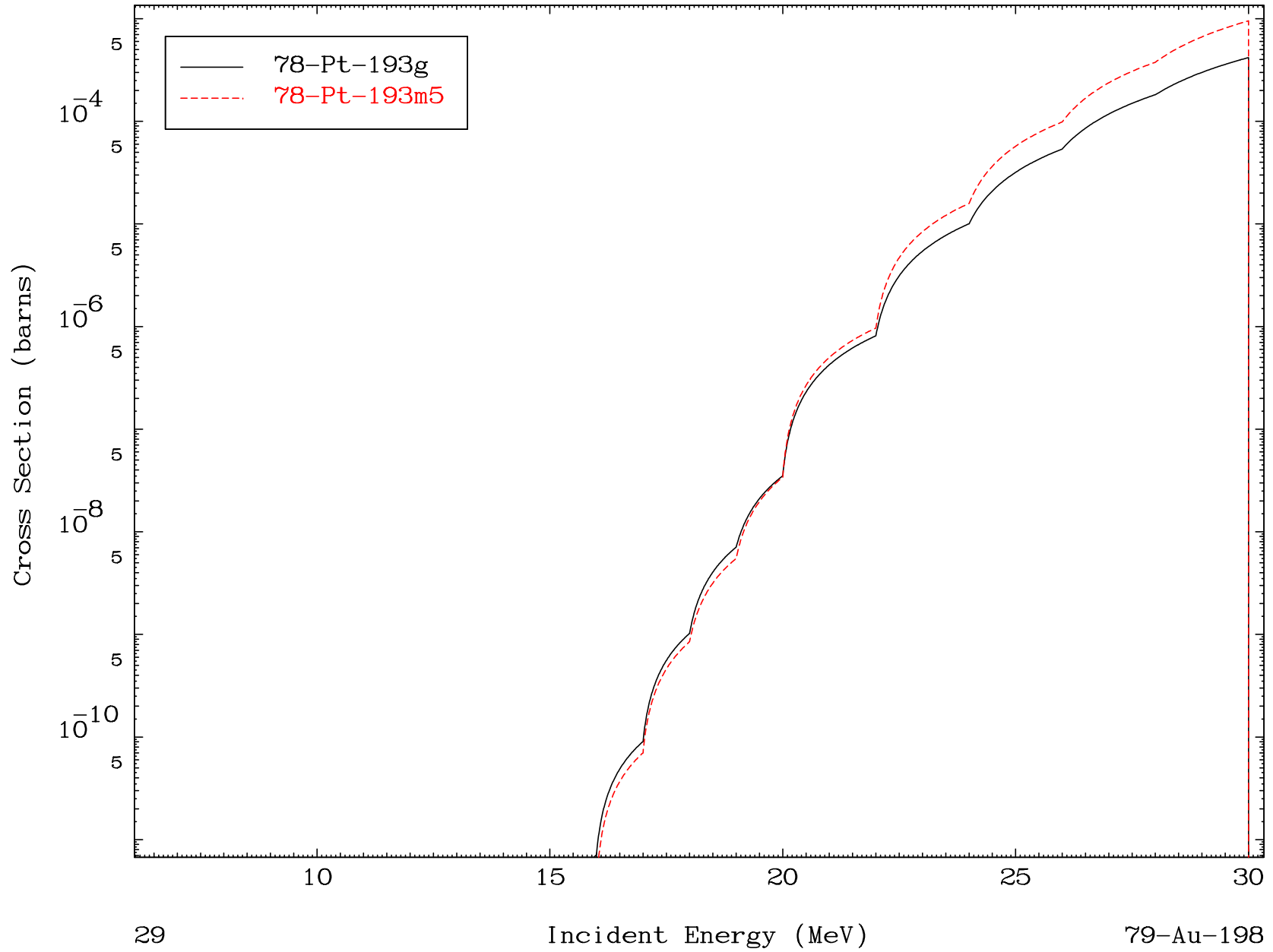


MAT 7928

(p,2n) α

79-Au-198

Radionuclide Production Cross Section

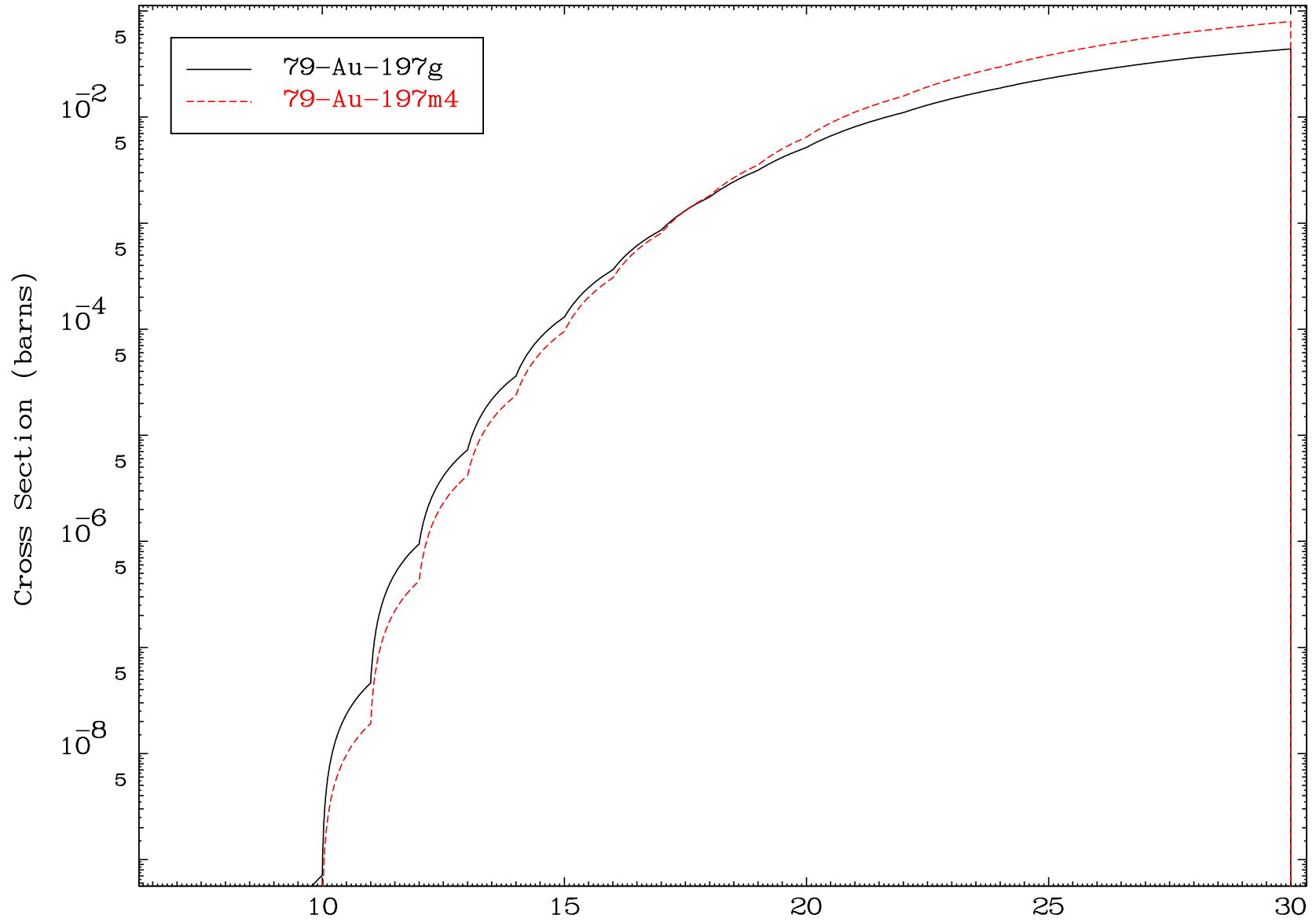


MAT 7928

(p,n') p

79-Au-198

Radionuclide Production Cross Section

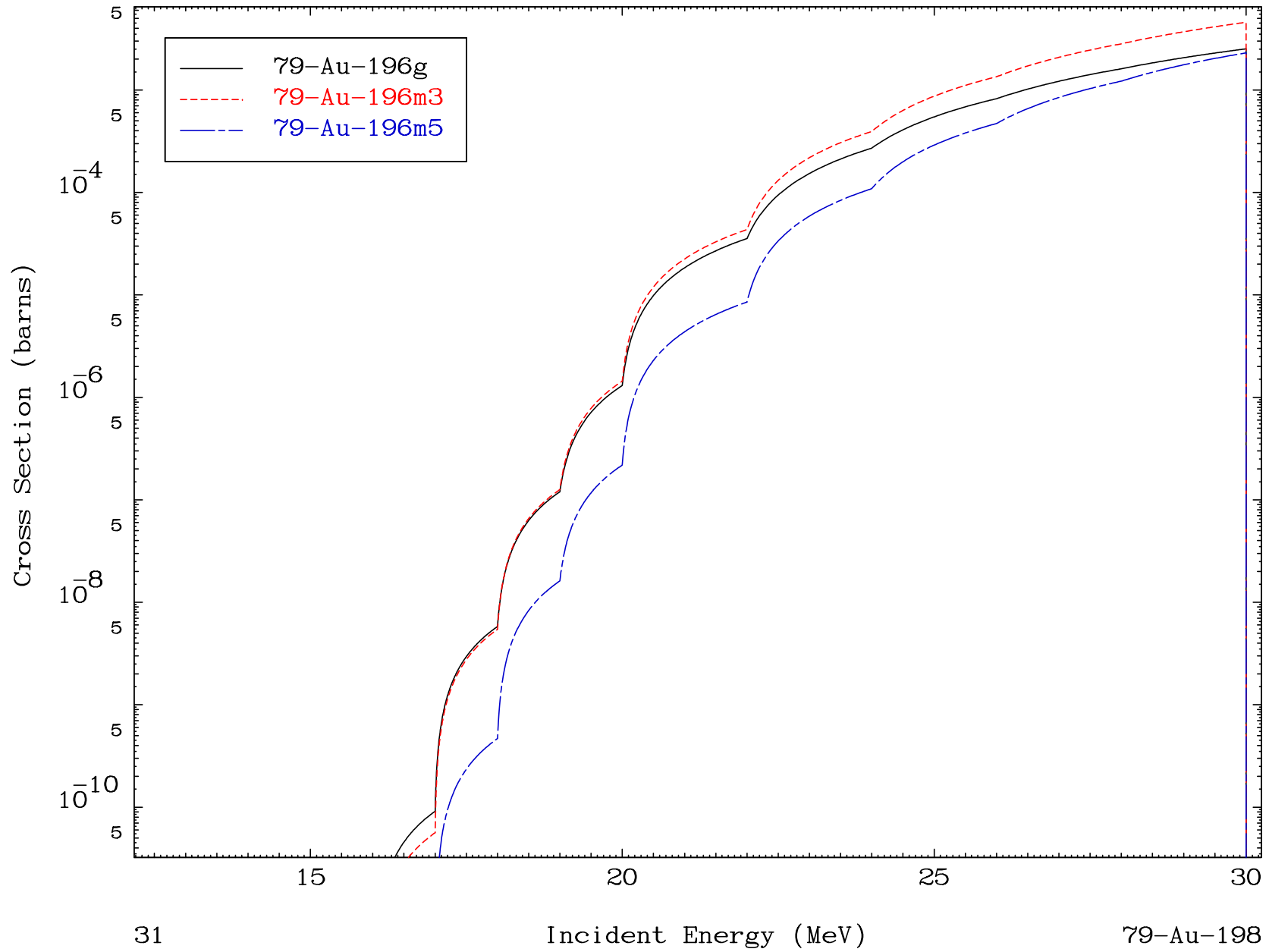


30

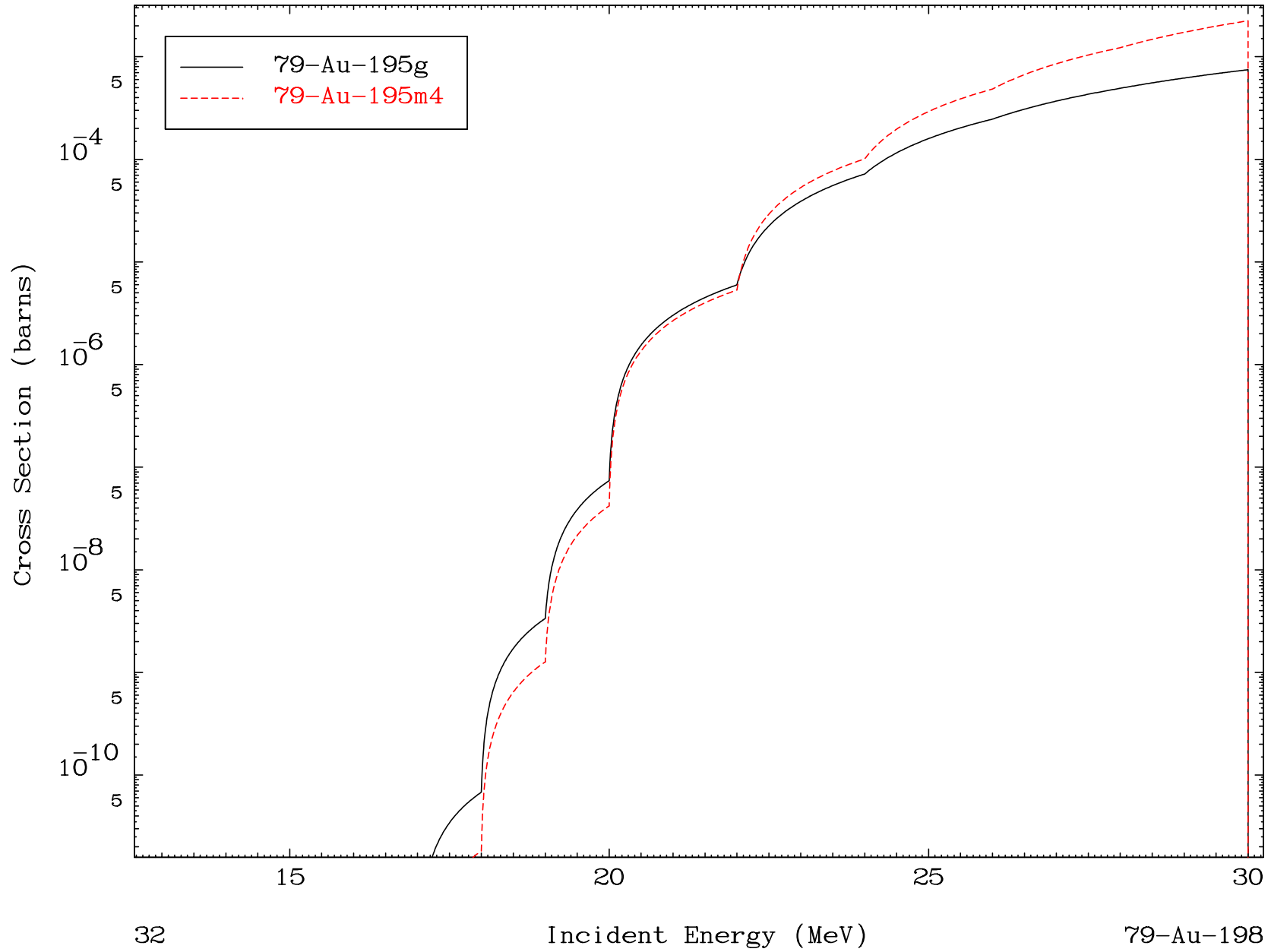
Incident Energy (MeV)

79-Au-198

Radionuclide Production Cross Section



Radionuclide Production Cross Section

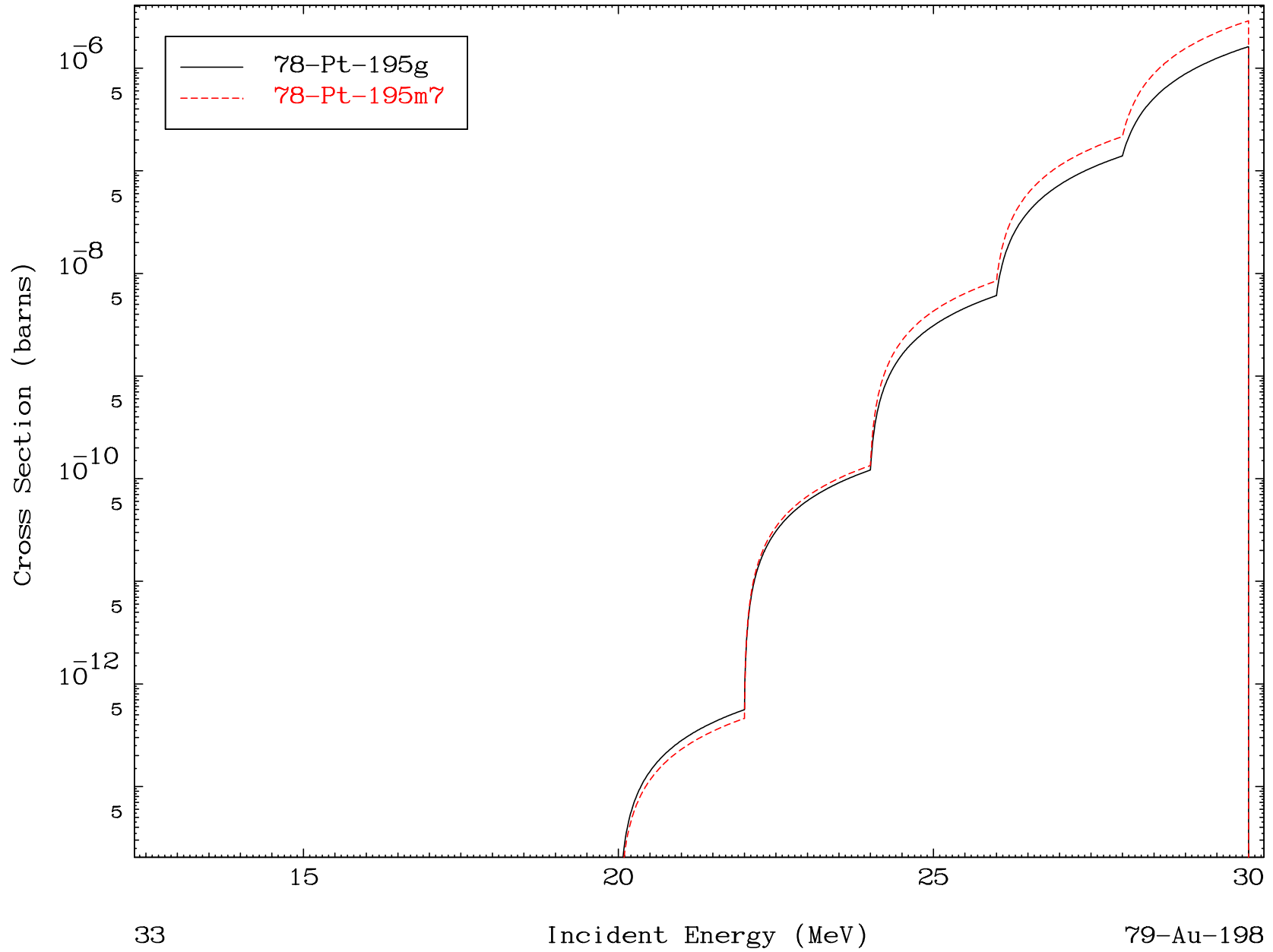


MAT 7928

(p,n') He-3

79-Au-198

Radionuclide Production Cross Section



33

Incident Energy (MeV)

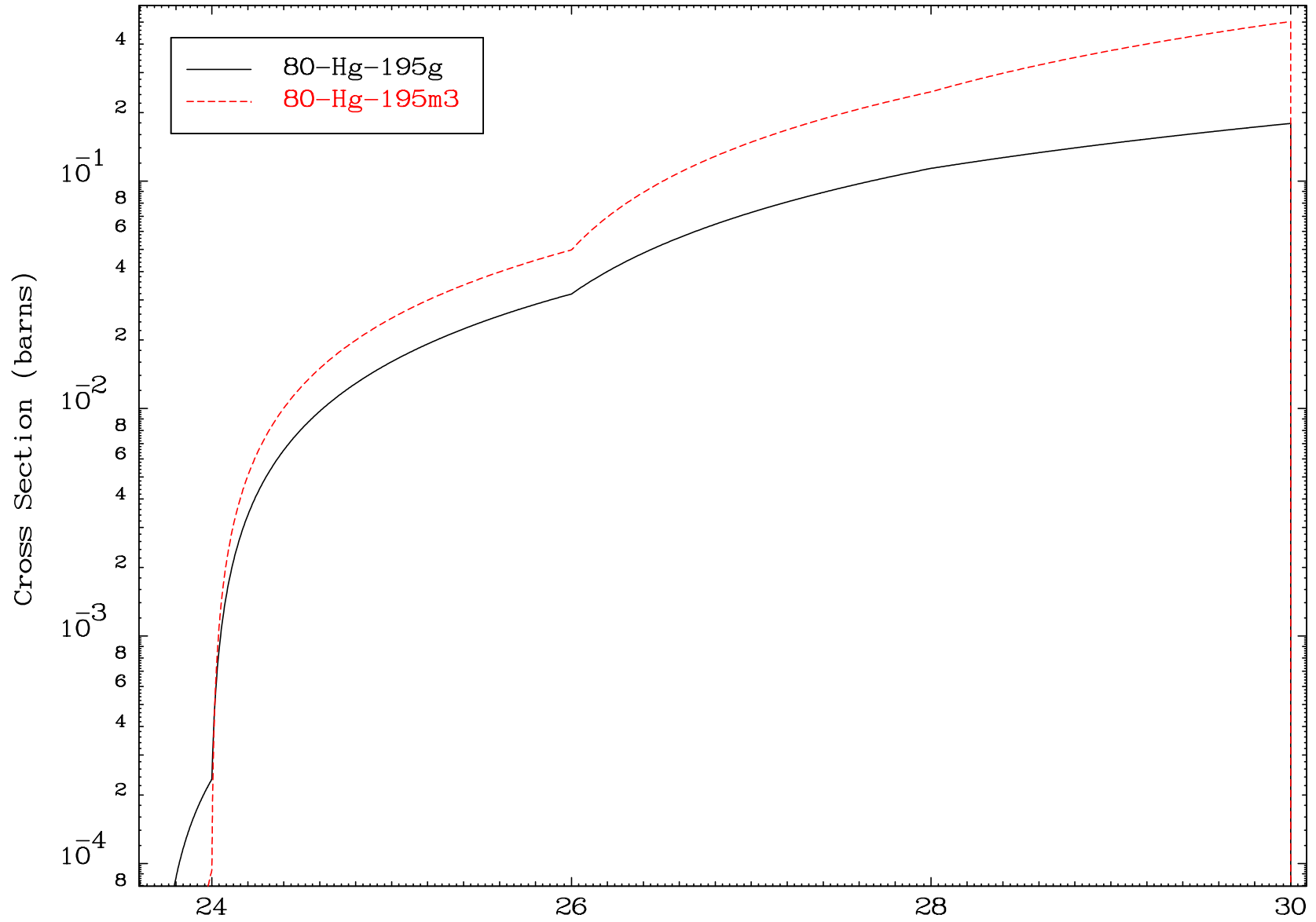
79-Au-198

MAT 7928

(p,4n)

79-Au-198

Radionuclide Production Cross Section



34

Incident Energy (MeV)

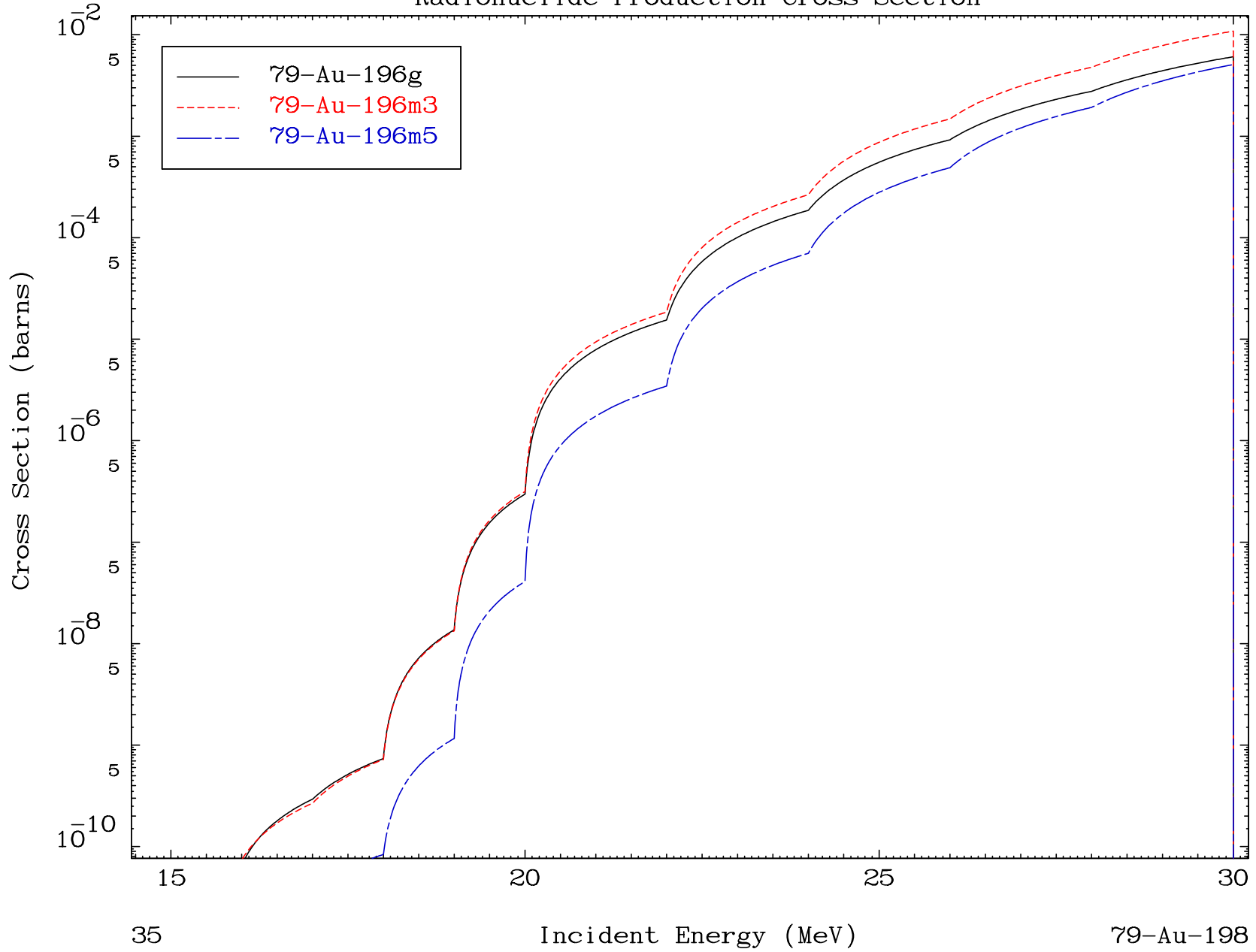
79-Au-198

MAT 7928

(p,2n) p

79-Au-198

Radionuclide Production Cross Section



35

Incident Energy (MeV)

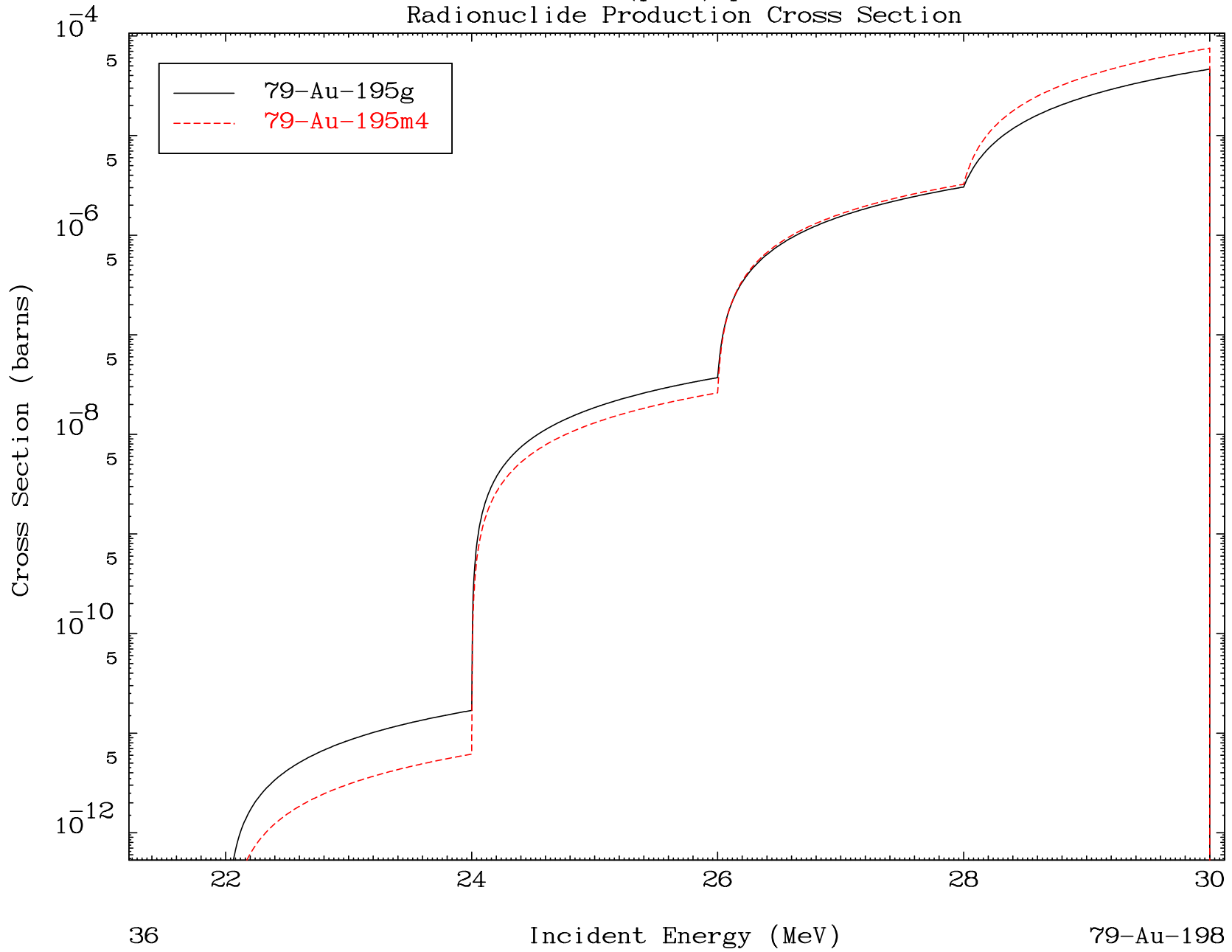
79-Au-198

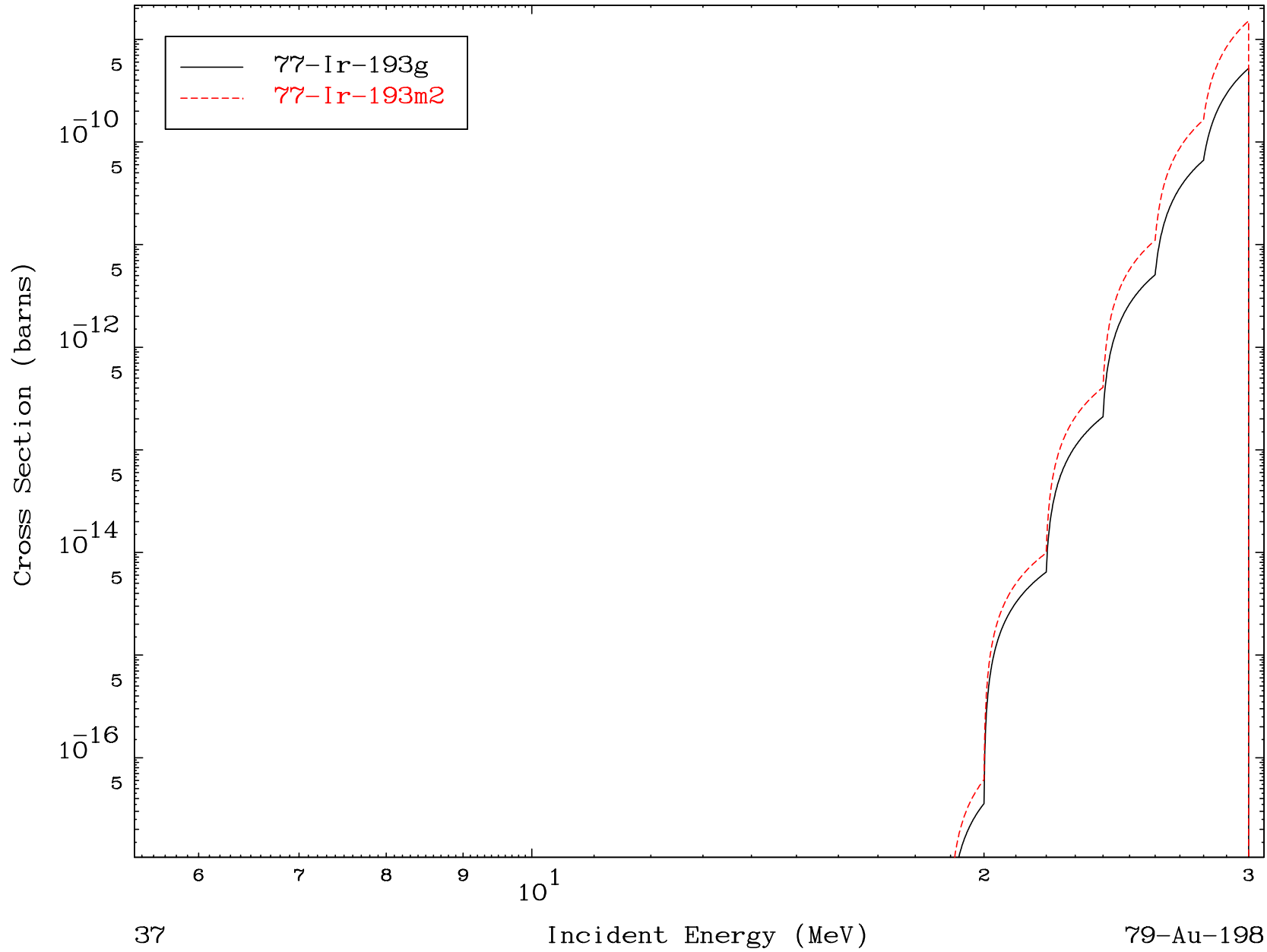
MAT 7928

(p,3n) p

79-Au-198

Radionuclide Production Cross Section



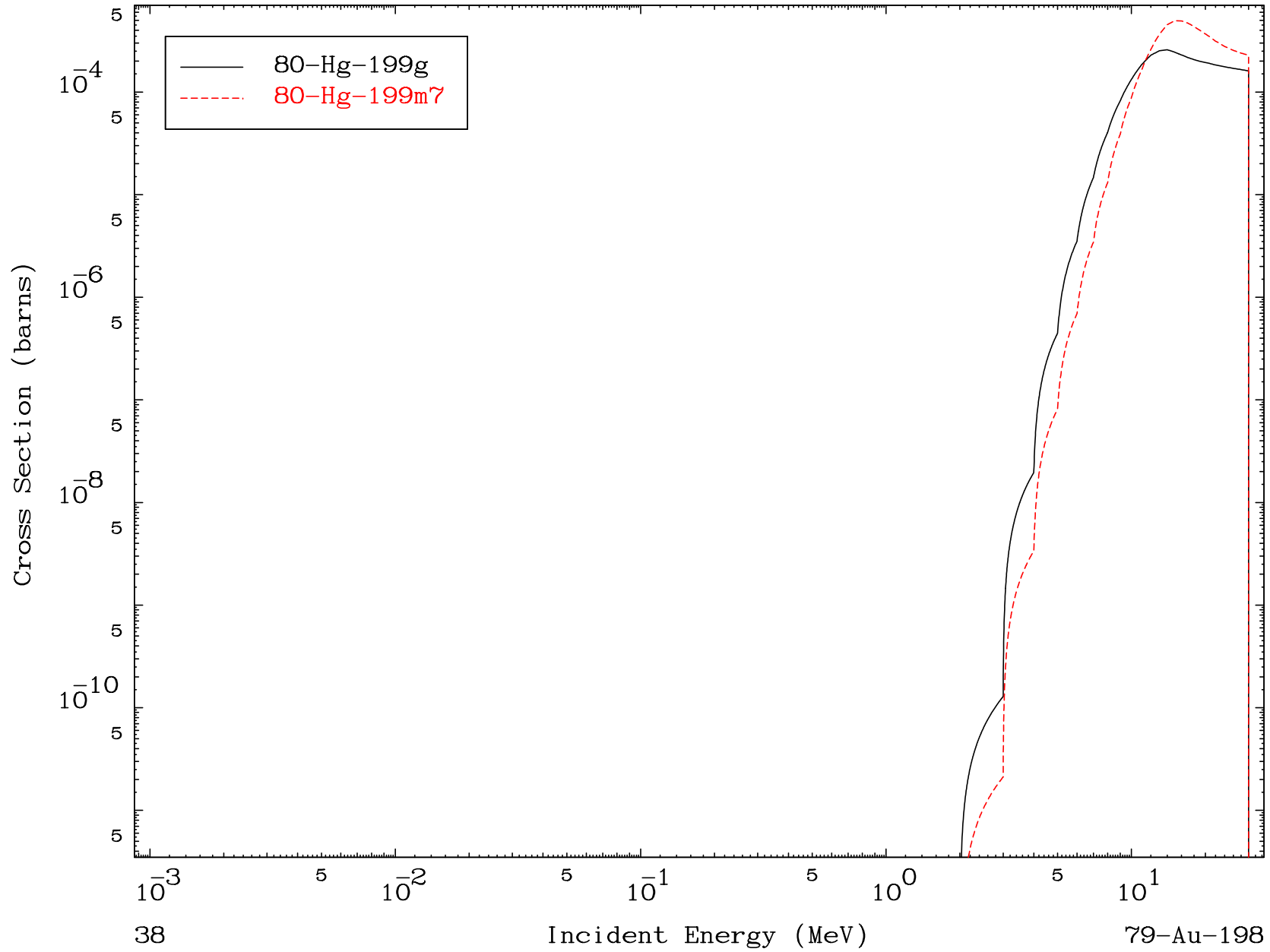


MAT 7928

(p, γ)

79-Au-198

Radionuclide Production Cross Section

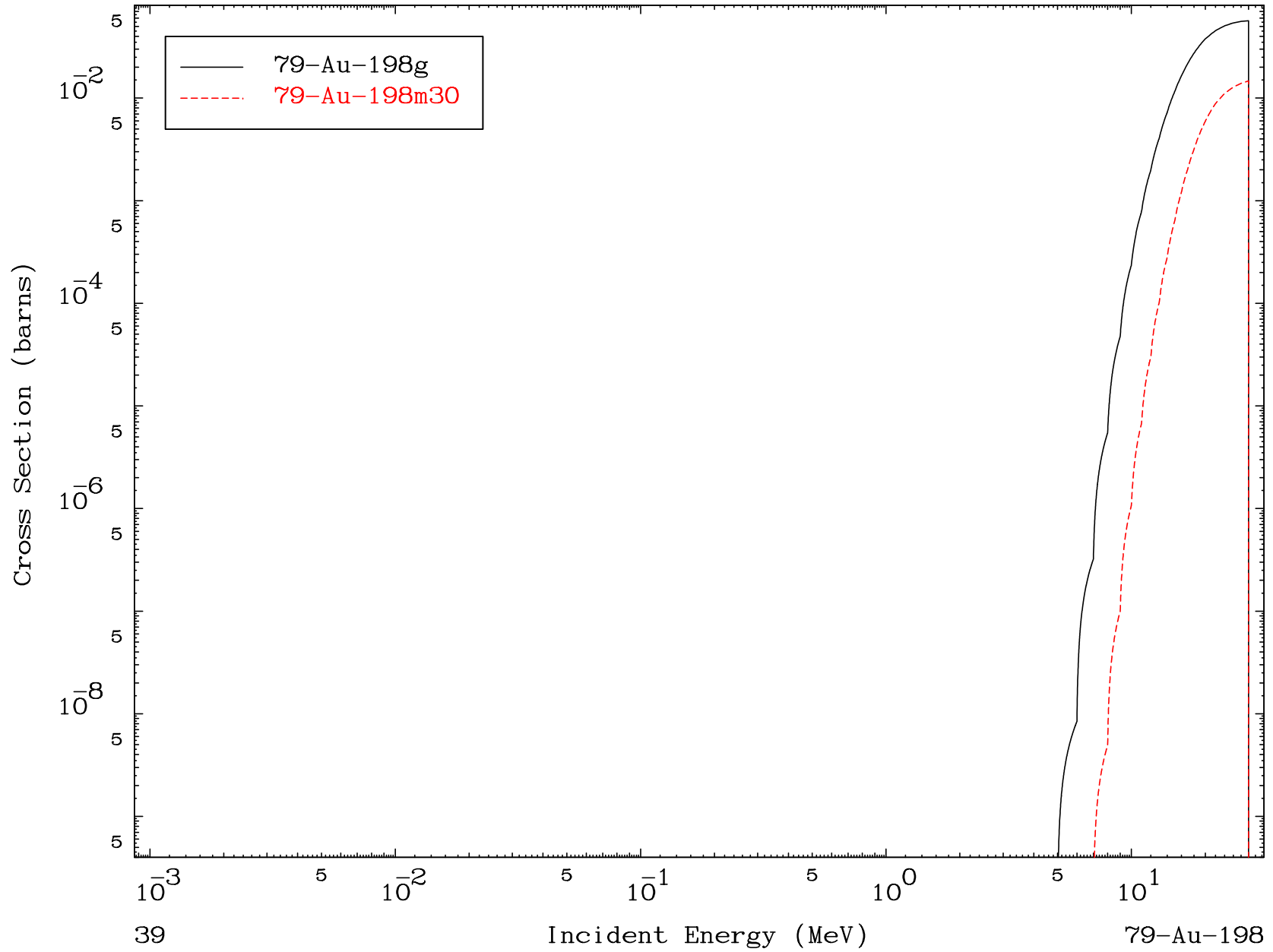


MAT 7928

(p,p)

79-Au-198

Radionuclide Production Cross Section

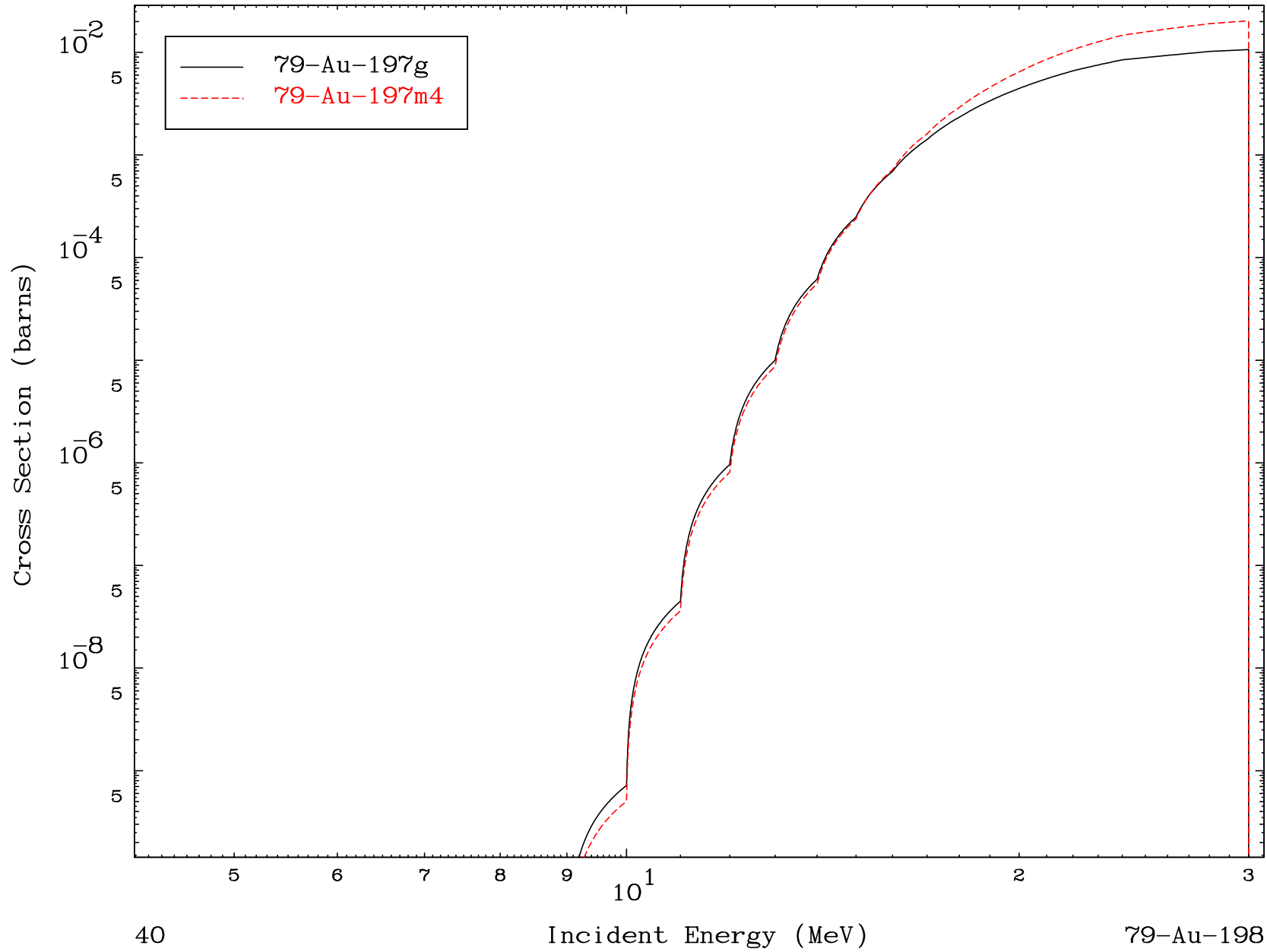


MAT 7928

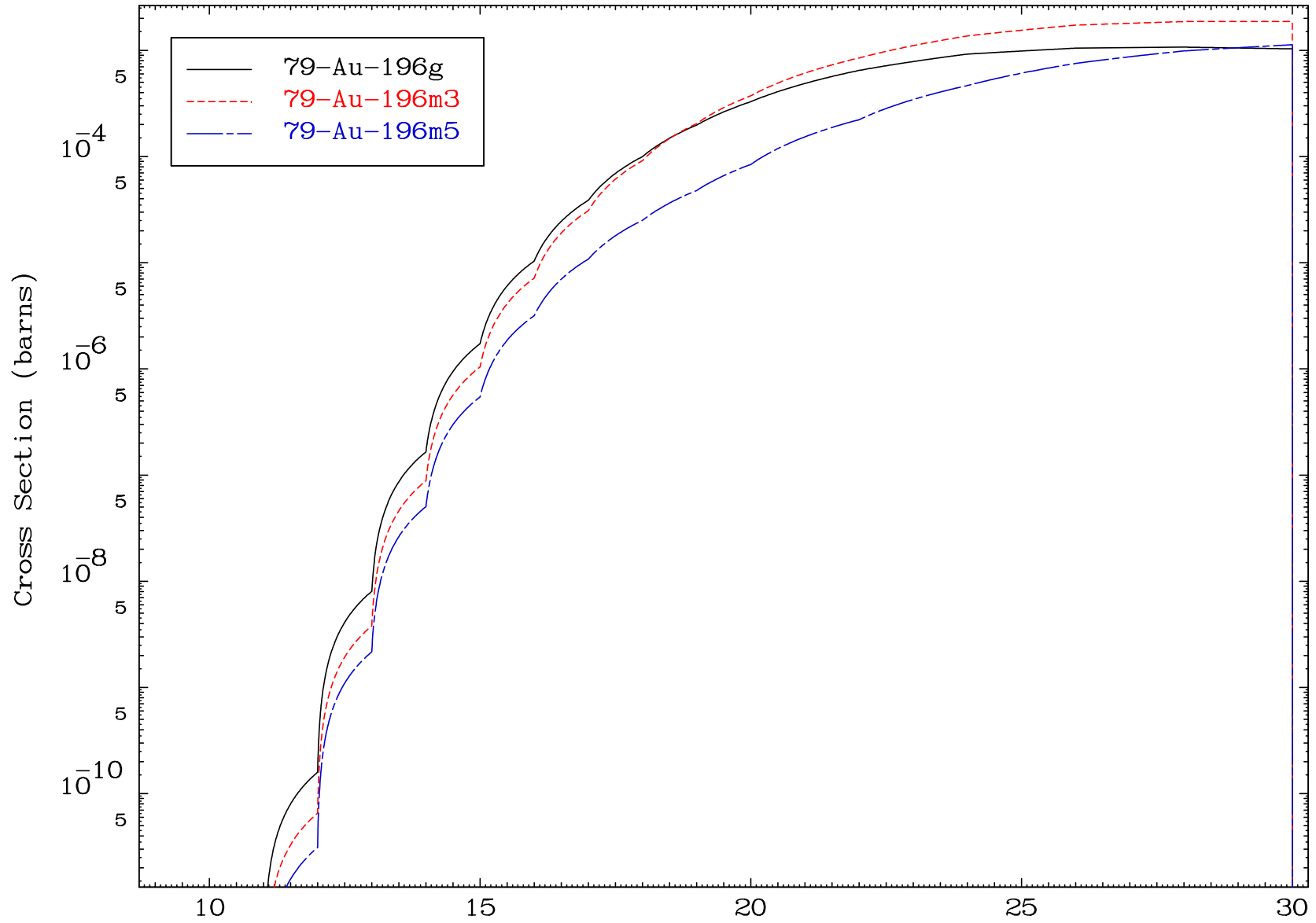
(p,d)

79-Au-198

Radionuclide Production Cross Section



Radionuclide Production Cross Section

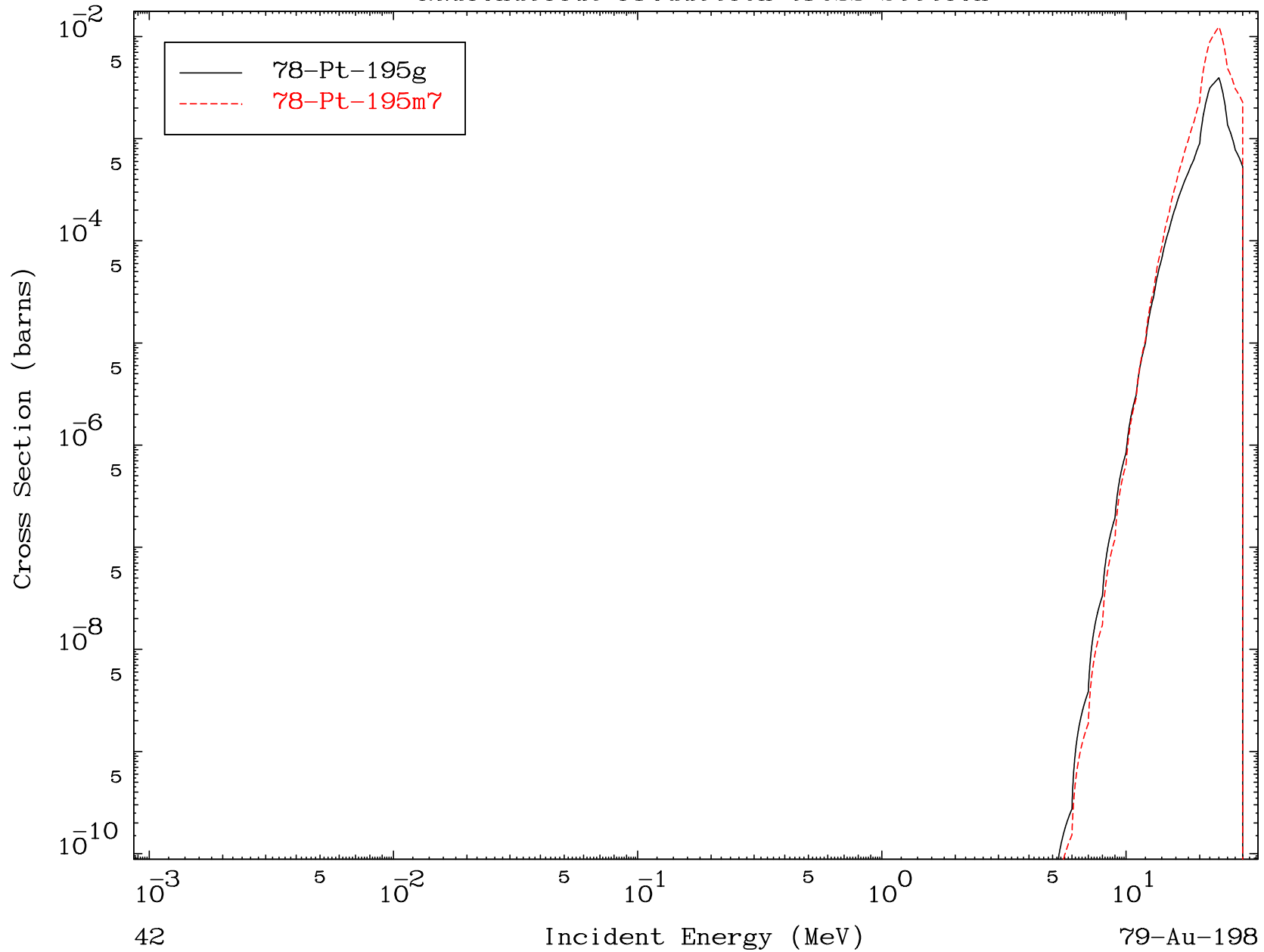


MAT 7928

(p,α)

79-Au-198

Radionuclide Production Cross Section

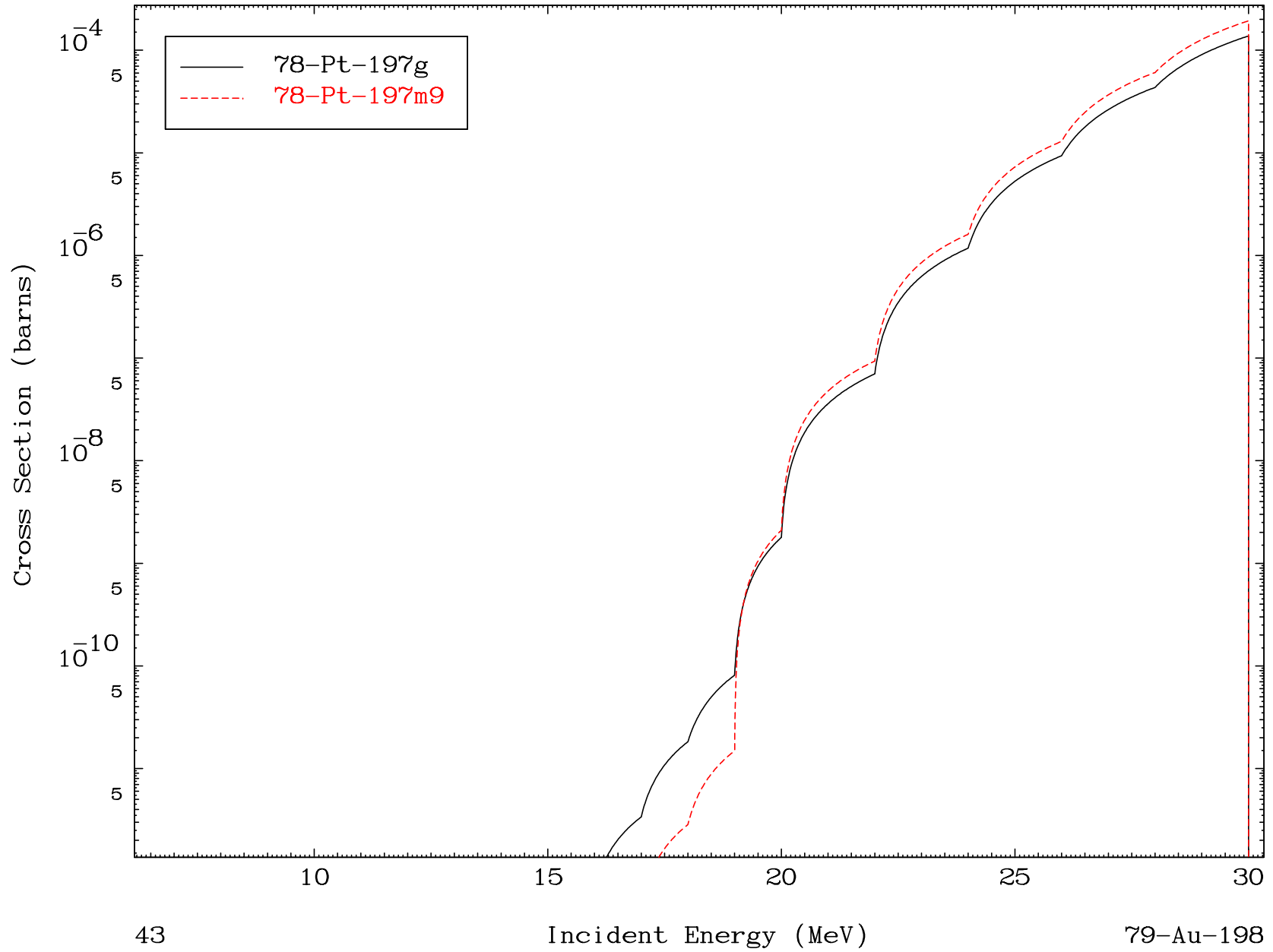


MAT 7928

(p,2p)

79-Au-198

Radionuclide Production Cross Section



43

Incident Energy (MeV)

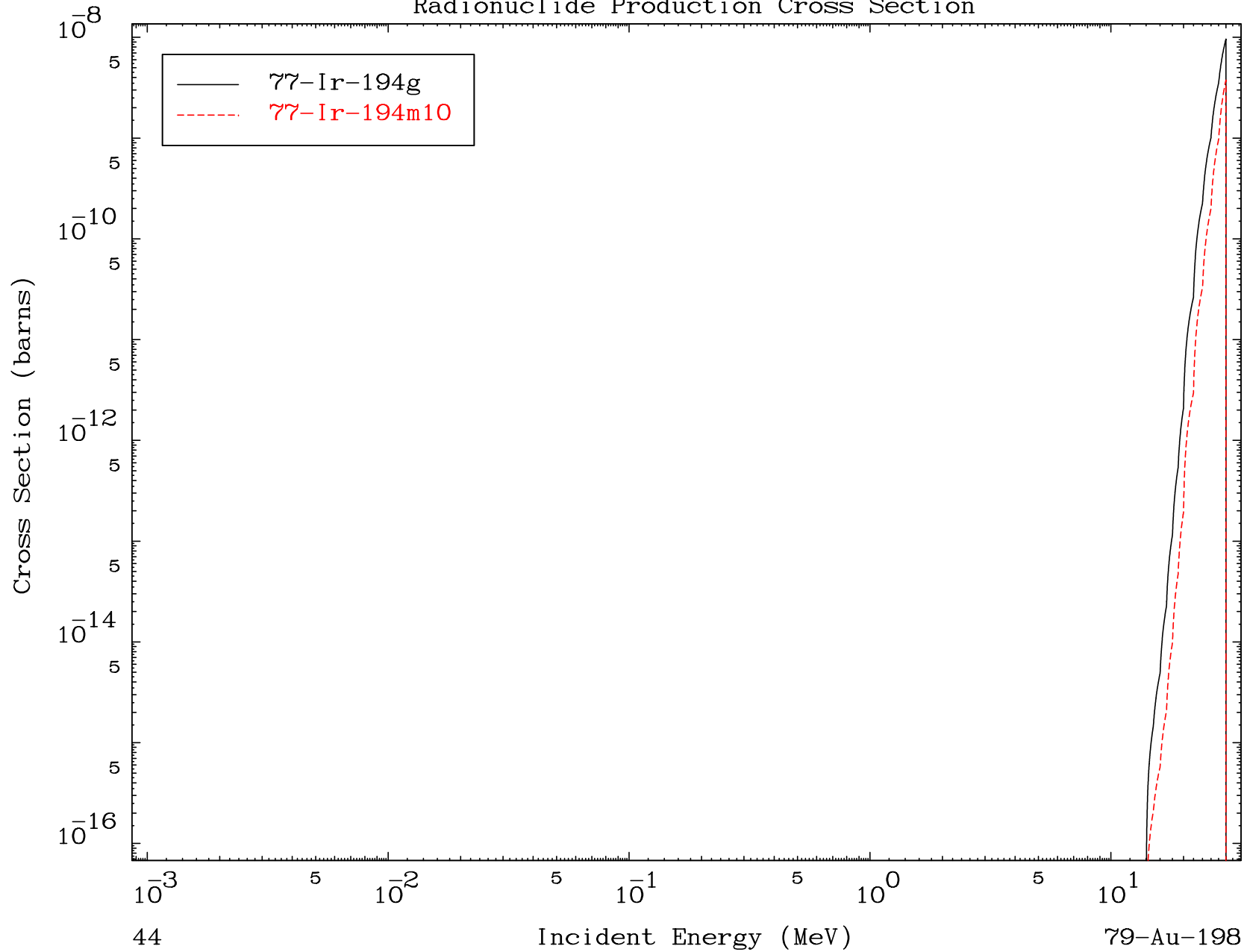
79-Au-198

MAT 7928

(p,p) α

79-Au-198

Radionuclide Production Cross Section



MAT 7928

(p,p) t

79-Au-198

Radionuclide Production Cross Section

